



Budapesti Műszaki és Gazdaságtudományi Egyetem
Villamosmérnöki és Informatikai Kar
Automatizálási és Alkalmazott Informatikai Tanszék

Háromfázisú mérőrendszer villamos hálózati jellemzők vizsgálatához

DIPLOMATERV

Készítette
Sárközy Balázs

Vállalati konzulens
Buday Csaba

Tanszéki konzulens
Kökényesi Tamás

2018. december 1.

Tartalomjegyzék

Kivonat	4
Abstract	5
Bevezető	6
1. Energetikai áttekintés	7
1.1. Feszültséghőminőség	7
1.2. CEER Benchmarking	8
2. C-RTU család	9
2.1. Alapkészülék	9
2.2. Kiegészítő modulok	10
2.3. Protokoll	10
2.4. Mechanikai kialakítás	11
3. Rendszer jellemzők	12
3.1. Specifikáció	12
3.2. Feszültségmérés	13
3.2.1. Feszültségváltó transzformátor	13
3.2.2. Ellenállásosztó és izolációs erősítő	13
3.2.3. 3.1.2 Ellenállásosztó és leválasztott ADC	14
3.3. Árammérés	14
3.3.1. Áramváltó transzformátor	14
3.3.2. Rogowski-tekercs	15
3.3.3. Sönt ellenállás és izolációs erősítő	15
3.3.4. Hall-szenzoros árammérő	15
3.4. Adatfeldolgozás	15
3.4.1. Digitális Jelfeldolgozó Processzor	15
3.4.2. Programozható Logika	16
3.4.3. Mérő IC, beégetett DSP kóddal	16
3.5. Választott megoldás	16
3.5.1. Elméleti specifikáció, funkcionálitás	17
4. Hardver konstrukció	20

4.1.	Szabványosság	20
4.1.1.	Szigeteléskoordináció	20
4.1.2.	EMC	20
4.1.3.	EMC tesztek	24
4.1.4.	Javítási tervezek	27
4.2.	Mechanika	30
4.3.	Kapcsolási rajz	31
4.4.	NYÁK terv	33
5.	Szoftveres komponensek	35
5.1.	Mikrokontroller	35
5.2.	Emulált EEPROM	35
5.3.	Firmware	37
5.3.1.	Program felépítése	37
5.3.2.	Mérő IC-t kezelő függvények, struktúrák	41
5.3.3.	Debug soros port	43
5.4.	Linux oldali szoftver	44
5.5.	Gyártás támogatás	44
5.5.1.	Végmérés és kalibráció	45
6.	Példaalkalmazás	46
Összefoglalás		47
Köszönnetnyilvánítás		48
Ábrák jegyzéke		49
Táblázatok jegyzéke		50
Irodalomjegyzék		52
Függelék		53
F.1.	Függelék 1	53

HALLGATÓI NYILATKOZAT

Alulírott *Sárközy Balázs*, szigorló hallgató kijelentem, hogy ezt a diplomatervet meg nem engedett segítség nélkül, saját magam készítettem, csak a megadott forrásokat (szakirodalom, eszközök stb.) használtam fel. minden olyan részt, melyet szó szerint, vagy azonos értelemben, de átfogalmazva más forrásból átvettem, egyértelműen, a forrás megadásával megjelöltem.

Hozzájárulok, hogy a jelen munkám alapadatait (szerző(k), cím, angol és magyar nyelvű tartalmi kivonat, készítés éve, konzulens(ek) neve) a BME VIK nyilvánosan hozzáférhető elektronikus formában, a munka teljes szövegét pedig az egyetem belső hálózatán keresztül (vagy autentikált felhasználók számára) közzétegye. Kijelentem, hogy a benyújtott munka és annak elektronikus verziója megegyezik. Dékáni engedéllyel titkosított diplomatervek esetén a dolgozat szövege csak 3 év eltelte után válik hozzáférhetővé.

Budapest, 2018. november 25.

Sárközy Balázs
hallgató

Kivonat

TODO

Abstract

TODO

Bevezető

TODO[1]

TODOBB[2]

TODOEST[3]

TODOESTTEST[4]

Todododo[5]

Todododo[6]

Todododo[7]

Todododo[8]

Todododo[9]

Todododo[10]

TODOTODO[11]

TODOTODO[12]

TODOTODO[13]

TODOTODO[14]

TODOTODO[15]

TODOTODO[16]

TODOTODO[17]

TODOTODO[18]

TODOTODO[19]

TODOTODO[20]

1. fejezet

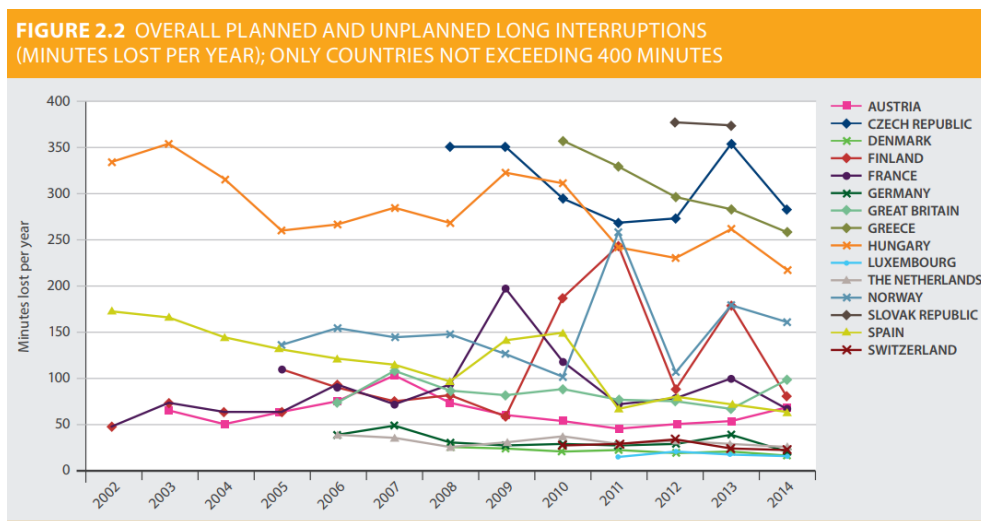
Energetikai áttekintés

1.1. Feszültségminőség

Teljesítményminőségen, vagy helyesebben feszültségminőségen a hálózati feszültség paramétereit értjük, illetve azok megfelelését a névleges értékekhez, mely Magyarországon 230Veff, 50Hz, szinuszos fázis feszültségnek felel meg, fázisonként 120 fokkal eltolva háromfázisú rendszer esetében. A magyar hálózati feszültségek szabályozását az MSZ 1:2002-es szabvány írja le, ebben találhatóak meg a legkisebb, legnagyobb, valamint a névleges feszültség értékek, melyeket az áramszolgáltató köteles biztosítani a csatlakozási pontokon. A hálózati paraméterek természetesen ezektől az értékektől bizonyos mértékben eltérhetnek, az nem okoz a fogyasztóknál problémát, azonban túlságosan nagy eltérés esetén a hálózati feszültségről üzemelő berendezések károsodása következhet be, továbbá jelentős veszteségek léphetnek fel a villamosenergia-hálózatban, valamint a feszültségkimaradások, feszültséghatórések, jelentős kiesések, leállásokat, így többlet költségeket róhatnak a fogyasztókra. A hálózatra csatlakoztatott, fázisonként legfeljebb 16A fogyasztású eszközök áramfelvételének harmonikus tartalmát az IEC 61000-3-2 korlátozza, azonban ennek szabvány a bevezetése előtt forgalomba került berendezésekre ez a szabvány nem vonatkozik, azok tovább üzemeltethetők élettartamuk végéig, annak ellenére, hogy leggyakrabban a hálózati áramfelvételük felharmonikus tartalma magas, emellett teljesítmény tényezőjük alacsony. A hálózatra csatlakoztatott tápegységek, például az igen nagy darabszámban gyártott kompakt 5V-os telefontöltők leggyakrabban egyenirányítás után egy elektrolit kondenzátorral állítanak elő egyenfeszültséget, majd egy flyback konverterrel 5V-ot biztosítanak a kimeneten. A magas THD tartalom egyik lehetséges hatása a primer oldali szűrőkondenzátor korai tönkremenetele, mivel azon a tervezett alapharmonikus áramösszegzetevő mellett további komponensek is megjelennek, azok pedig a soros ellenálláson disszipációt okoznak, mellyel magasabb hőmérséklet, rövidebb élettartam jár együtt. Egy további komoly probléma a hálózati harmonikus tartalom miatt bekövetkező többszörös, vagy időben nem állandó periódusú nullátmenet. Ez a hálózathoz szinkronizált berendezések, például inverterek, szinkron egyenirányítók helytelen, vagy rossz hatásfokú működését eredményezheti.

1.2. CEER Benchmarking

Az Európai Energia Szabályozók Tanácsa (CEER) rendszeresen hasonlítja össze és publikálja különböző országok feszültségminőség adatait, ezzel is ösztönözve az egységes, minőségi szolgáltatás biztosítását. A legutóbbi ilyen összehasonlítás, a 6th CEER Benchmarking Report on all the Quality of Electricity and Gas Supply 2016 volt, mely immár a 6. ilyen kiadvány. Az ebben feltüntetett adatok jól szemléltetik a különböző fejlesztési lehetőségeket.

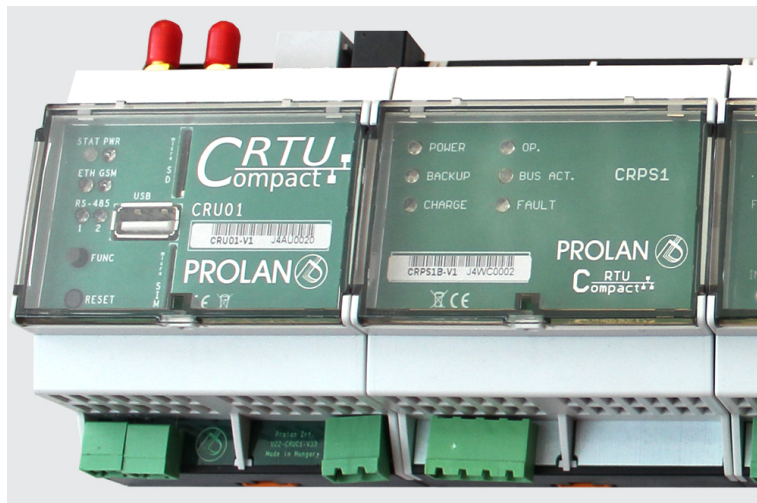


1.1. ábra. Hosszú kimagadások ideje évente

A fenti ábrából jól látszik, hogy Magyarországon (Narancssárga trendvonal) összességében javuló tendencia mutatkozik a hosszú kimagadások tekintetében, azok száma 2002-höz viszonyítva 30-40%-kal csökkent. Fontos megjegyezni, hogy országok közötti összehasonlítás szempontjából csak hozzávetőleges információtartalommal bír a grafikon, mivel a hosszú kimagadások definíciója, vizsgálata országonként eltérhet. Különbség lehet abban például, hogy a KIF (LV), KÖF(MV) vagy NAF(HV) hálózaton lévő kimagadásokat vizsgálják-e, ugyanakkor már a feszültségszintek felosztásában is lehet eltérés országok között. A jelentés több ajánlást is tesz a jövőbeni szolgáltatásminőség javításához, ezekben elsősorban arra ösztönzi az áramszolgáltatókat, hogy növeljék a megfigyelési pontok számát, a minőséginformációk legyenek egységesek a vizsgált országokon belül. Az említett összehasonlítás nem egyedülálló, több szervezet is foglalkozik a villamos szolgáltatás minőségének javításával. Az elektronika fejlődésével, a félvezetők árának csökkenésével a 21. században a villamos-energiahálózat fejlődése egyértelműen a "Smart Grid", vagyis okoshálózat irányába mutat, ahol a különböző hálózati paramétereket az energetikai szakemberek országos szinten, nagy részletességgel tudják elemezni, ezek alapján pedig növelni tudják a megbízhatóságot, hatásfokot. Ez a feladat egy pontos, megbízható, alacsony költségű kihelyezett adatgyűjtő eszközt igényel. Diplomamunkám keretében ennek az eszköznek a fejlesztését mutatom be.

2. fejezet

C-RTU család



2.1. ábra. C-RTU család

A PROLAN Zrt. C-RTU családjával kisméretű, moduláris adatgyűjtő és vezérlő rendszereket lehet kialakítani. Az alapkészülék mellé számos kiegészítő modul áll rendelkezésre, melyek között CAN kommunikációval történik az adatcsere egy moduláris hátlapi buszon keresztül. Ezek a modulok lehetnek például: digitális be- és kimenetek, feszültség és árammérők, tápkimaradás áthidaló okos tápegységek, különböző kommunikációs interfések biztosító kiegészítők vagy akár elektromos jármű töltés vezérlők. A legtöbb kiegészítő modulban lévő, helyi mikrokontroller a Linux operációs rendszert futtató C-RTU alapkészülékkel CAN buszon kommunikál. A kontroller látja el a modul specifikus feladatokat, az alapkészüléknél már csak a magasabb szintű logikát, feldolgozást kell megvalósítania Linux operációs rendszer alól.

2.1. Alapkészülék

TODO CITÁCIÓ NXP, KARO, PROLAN!



2.2. ábra. C-RTU alapkészülék

Az alapkészülékben egy Ka-Ro electronics GmbH által gyártott "Computer-On-Module" található, ez a processzor egy-egy C-RTU alkalmazásnak a lelke. A modulon az NXP i.MX 6UltraLite MCIMX6G2-es processzora van, ez egy alacsony fogyasztású alkalmazás processzor. Emellé a modulon 4GiB eMMC társul, továbbá 256MiB SDRAM, valamint egy komplex tápáramkör, aminek már csak egy bemeneti feszültségre van szüksége a működéshez.

Az alapkészülék egy 4 modulhely (71.6mm) széles készülékházban kapott helyet. Több szoftveresen választható helyi, külső kommunikációs vonal is használható. A lehetséges konfigurációk: RS422, vagy 2 RS485 vonal, vagy egy RS485 és egy CAN busz. Hardveresen vezetéknélküli opciónk közül választhatunk 2G/3G/4G GSM, vagy LTE 450, vagy LoRa kommunikációból, illetve ezek helyett optikai ethernetet. Mindegyik alapkészülékben van továbbá egy réz alapú ethernet port is.

2.2. Kiegészítő modulok

2.3. Protokoll

A C-CAN protokoll egy házon belül kifejlesztett, CAN fizikai rétegű kommunikáció, csomagtípusok, beszélhetek erről?

TODO

2.4. Mechanikai kialakítás

A C-RTU család eszközeit a Phoenix Contact BC moduláris készülékházait használják. Ezek kalapsínre szerelhetők, illetve több méretben is elérhetők. A nyomtatott áramköri lapok elhelyezése számos módon történhet, az megoldható akár vízszintesen, akár függőlegesen. A sok rögzítési pont következtében kis kiterjedésű modulokat lehet létrehozni az úgynevezett ”szendvics panel” kialakítással. A C-RTU családban modulonként általában 2 emelet van, illetve ezen felül egy, ami a készülék előlapját valósítja meg. Az előlap NYÁK-ból való megvalósítása először pazarlónak gondolhatnánk, azonban nagy gyártási darabszámnál nem emeli jelentős mértékben a költségeket, emellett könnyű gyártani, konzisztens és szép eredményt nyújt a sztenderd 0.15/0.15mm-es vezető/szigetelő technológiával. További előnye a megoldásnak, hogy a felhasználó által nem látható, belső oldalra alkatrészek ültethetők. Ez például a C-RTU alapkészüléknél ki van használva, ott két U.FL rádiófrekvenciás csatlakozó kerül beültetésre igény szerint, amelyek mögött a réz rajzolaton egy-egy NYÁK antenna került elhelyezésre, így amennyiben a felhasználásai területre elég egy kisebb nyereségű antenna, a felhasználók plusz költség nélkül hozzáférnek ezekhez.

TODO

3. fejezet

Rendszer jellemzők

A tervezendő adatgyűjtő rendszer a kihelyezett mérőpontokon a KIF és KÖF rendszer feszültségeihez közvetlenül, vagy feszültségváltókon, az áramaihoz közvetlen söntön, vagy áramváltókon keresztül csatlakozik. minden mérési megoldásnál egyformán elvárás a legalább 2.5kVeff izoláció. A lehetséges mérési megoldásokat az eszköz szempontjából meghatározó tulajdonságok alapján hasonlítom össze.

3.1. Specifikáció

A CR-PM3 egyik lehetséges felhasználása egy másik, a szintén Prolan által gyártott ProField mezőgép AF500-as moduljának kiváltása. Mivel ez a készülék nagyobb darabszámban eladtott, így ennek a specifikációját vettettem alapul tervezéshez. A modul precíz feszültség és áram mérések elvégzésre alkalmas, áram- és feszültségváltó transzformátorokon keresztül. Maga a ProField rendszer rack-es kivitelű, így helyigénye is nagyobb, mint egy C-RTU-val megvalósított alkalmazás. A hivatalos specifikációja a modulnak:

Névleges fázisfeszültség-tartomány	0-200VAC (RMS)
Teljes fázisfeszültség-tartomány	0-450VAC (Peak)
Névleges áramtartomány	0-1AAC / 0-5AAC (konfiguráció függő)
Névleges frekvenciatartomány	45-55Hz
Névleges fázismérés-tartomány	$\pm 180^\circ$
Működési hőmérséklettartomány	0...+55C° / -20...+70C° (verzió függő)
Pontosság	0.5%

3.1. táblázat. AF500 ProField modul specifikációja

Az AF500 a következő adatokat szolgáltatja a ProField rendszerben:

1. *Vonalifeszültségek*
2. *Fázisfeszültségek*
3. *Fázisszögek*

4. *Fázisteljesítmények (P, Q, S)*
5. *Háromfázisú teljesítmények (P, Q, S)*
6. *Frekvencia*
7. *Zérus sorrendű feszültség és áramok*

A tervezendő modulnak a fenti tulajdonságokat, illetve funkciókat kell tudnia, vagy azokat meghaladnia, hogy versenyképes lehessen, ugyanakkor alacsonyabb önköltséggel kell megoldani a feladatot.

3.2. Feszültségmérés

3.2.1. Feszültségváltó transzformátor

Egy precízen tekercselt mérőtranszformátor segítségével az 50Hz-es váltakozó feszültséget leválaszthatjuk és letranszformálhatjuk a mérési tartományunkra, ezt egy nagy impedanciás mérővel feldolgozhatjuk, így a transzformátor gyakorlatilag üresjárásban üzemel. A feszültségváltó transzformátor jellemző hibája az áttételi hiba, vagyis a névleges áttételtől való eltérés, illetve a szöghiba, amely a primer és szekunder oldal közötti fáziseltolás. A túlfeszültséget jól tolerálja, a szükséges szigetelési szilárdság könnyen megvalósítható. Méretében a többi megoldáshoz képest nagy, a precízebb, például 0.1 pontossági osztályú, kis szöghibájú típusok ára jelentős.

3.2.2. Ellenállásosztó és izolációs erősítő

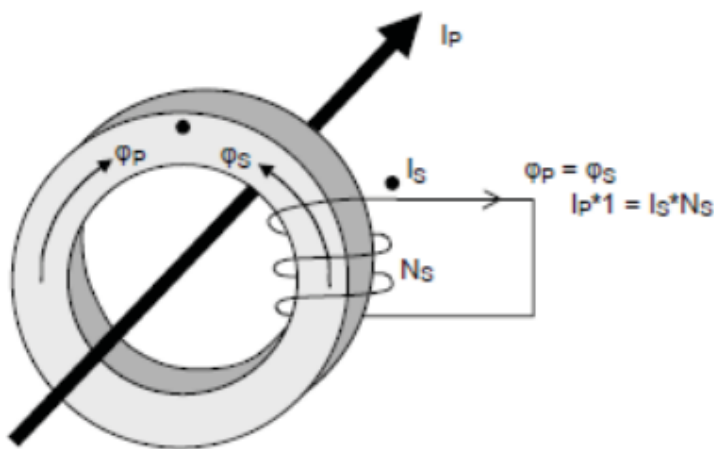
A készülék bemeneti feszültségét egy nagy impedanciás ellenállás osztón keresztül leképezhetjük egy izolációs erősítő bemeneti tartományára, majd egy izolációs erősítővel elérhetjük a megfelelő szigetelési szilárdságú galvanikus leválasztást. Az izolációs erősítő működhet optikai, induktív vagy kapacitív elven. Az induktív elvűek esetében az analóg bemeneti jelet digitálissá alakítják, majd a tokozáson belül kialakított légmagos transzformátorok segítségével, a mágneses téren keresztül választják le a jelet, majd alakítják vissza analóggá. Ez a megoldás akár kis teljesítményű leválasztott tápok kialakítását is lehetővé teszi a digitális jelek átvitele mellett. A kapacitív elven működő izolátorok szintén digitalizálják a bemeneti jelet, majd a szilícium lapkákon kialakított nagyfeszültségű kondenzátorok segítségével, az elektromos téren keresztül juttatják át a jelet a fogadó oldalra, ahol visszaalakítják analóg jelként. Az induktív és kapacitív izolátorok digitális átviteli megoldása kiküszöböli az optikai izolációs erősítők legfőbb problémáját, az öregedés következtében fellépő paraméter változásokat.

3.2.3. 3.1.2 Ellenállásosztó és leválasztott ADC

Hasonlóan az előző megoldáshoz, egy ellenállás osztóval kell letranszformálni az ADC méreси tartományára a feszültséget, majd az átalakítást követően a digitális kommunikációt kell leválasztani. A digitális kommunikáció leválasztására számos izolátor és optocsatoló típus áll rendelkezésre, melyek költsége alacsonyabb, mint az analóg izolációs erősítőké.

3.3. Árammérés

3.3.1. Áramváltó transzformátor



3.1. ábra. Áramváltó transzformátor működési elve

A feszültségváltó transzformátorhoz hasonló megoldással az árammérés is megoldható. A transzformátor kialakítását tekintve a szekunder oldal fix menetszámmal rendelkezik, míg a primer oldalon az adott felhasználásnak megfelelő menetszámban kell átfűzni egy nagyobb áramú vezetőt. Itt a menetszám tipikusan kevés, leggyakrabban 1-3 közötti. A szekunder oldalt egy minél alacsonyabb értékű sönt ellenállással zárjuk le, ezzel próbáljuk közelíteni a transzformátor rövidzárási állapotát. A szekunder oldali áramot mérve tudunk ezután következtetni a primer áramra, mivel az áttétel előre ismert. A feszültségváltó transzformátorral hasonló módon méretét tekintve nagy, precízebb típusok költségesek. Gyártanak bontható típusúakat is, azonban ezek tovább emelik a szenzor transzformátor árát. Egy jelentős hátrány, hogy lezáratlan állapotban életveszélyes feszültségek jelennek meg a szekunder oldalon már alacsonyabb primer áramknál is. Ez utóbbi abból következik, hogy míg normális működés közben a primer és szekunder oldalon keletkező fluxus azonos nagyságú és ellentétes irányú, ezzel kioltva egymást, addig a szekunder oldali szakadás esetén a vasmagban kialakuló fluxus megnő, a szekunder tekercselésben az feszültséget indukál, az pedig a transzformátor tönkremenetihez vezethet, vagy pedig a telepítő szakembert veszélyeztetheti, ezért a telepítésénél kellő figyelemmel kell eljárni, a szekunder oldalt rövidzárban kell tartani, vagy a primer oldali áramot 0-án kell tartani a szekunder lezárásáig.

3.3.2. Rogowski-tekercs

Egy olyan speciálisan kialakított tekercs, mely gyakran flexibilis, nyitható kivitelű. Ez lehetővé teszi az üzem közbeni felszerelését a mérőnek, nem kell az áramszolgáltatást szüneteltetni. A tekercs közepén átfolyó áram változásával arányos feszültség indukálódik, azt integrálva az áram értékét nagy pontossággal meg tudjuk határozni. Magas frekvenciáig, nagy áramok esetében is használható, például tranzienek vizsgálatához. Ma már tisztán nyomtatott áramkörön is kialakítható, azonban ezek pontossága még nem éri el a tekercselt kivitelűekét. A pontosabb kivitelű típusok ára magas.

3.3.3. Sönt ellenállás és izolációs erősítő

Egy egyszerű sönt ellenállás és egy izolációs erősítő alkalmazásával kis helyen, nagy precizitással elő tudjuk állítani a leválasztott, árammal arányos feszültség értéket, amit már a feldolgozó egység képes fogadni. Egy jelentős hátránya ennek a megoldásnak az ellenálláson fellépő disszipáció.

3.3.4. Hall-szenzoros árammérő

A Hall-szenzor alapú árammérőket manapság már feldolgozó elektronikával egy tokba integrálva is be lehet szerezni, kitűnő dinamikus tulajdonságokkal rendelkeznek, alkalmasak DC áramok mérésére, a mérendő áramot nem szükséges egy ellenálláson keresztül vezetni és így feszültséget ejtetni, az áram nagysága az általa keltett mágneses mezőn keresztül van mérve, a Hall-effektust kihasználva, így a leválasztás a mágneses téren keresztül valósul meg. Pontos mérésekhez a külső mágneses tér zavaró hatása ellen speciális mérési eljárásokkal lehet védekezni, mely során több, egymás mellett elhelyezett Hall-szenzor kimenetét kell mérni, azok segítségével pedig kiszűrhető a külső tér zavaró hatása. Pontosabb típusok ára viszonylag magas. Személyes, és munkatársaim tapasztalata, illetve egyetemi tanulmányaim alapján azonban ezeknek a szenzoroknak a kimeneti jele rendkívül zajos, egy precíz mérőműszerbe nem megfelelők.

3.4. Adatfeldolgozás

A lehetséges szenzor megoldások megismerése után nézzük milyen lehetséges jelfeldolgozók közül választhatunk.

3.4.1. Digitális Jelfeldolgozó Processzor

Az első lehetséges megoldás egy saját fejlesztésű szoftvert futtató digitális jelfeldolgozót tartalmaz, ez végzi el a méréseket, kompenzációt, valamint számolja ki a hálózati jellemzőket a mért feszültség- és áramértékekből. Ennek a megoldásnak előnye a flexibilitás, illetve,

hogy nem tartalmaz "fekete dobozokat", vagyis nem ismert belső működésű blokkokat. A piacra elérhető számos jelfeldolgozó processzor, így a tervező a célalkalmazásnak megfelelő típuszt tud kiválasztani.

3.4.2. Programozható Logika

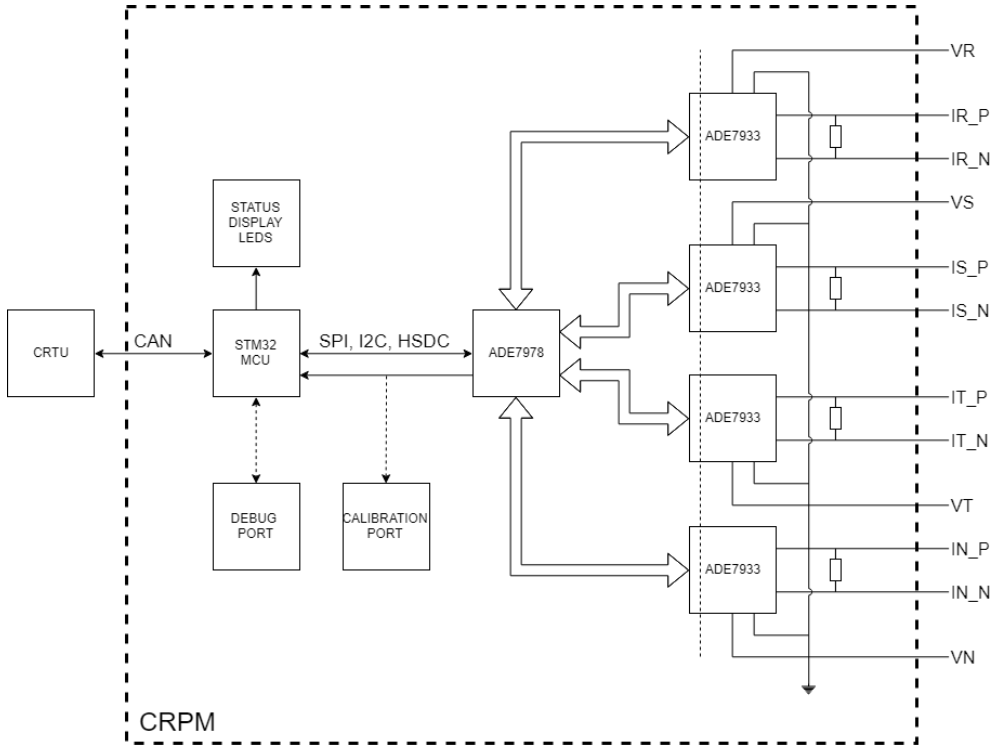
Az alkalmazás megvalósítható konfigurálható logikai eszközökkel is, például FPGA-val. A párhuzamosan működő blokkok jelentős számítási teljesítménnyel bírnak, digitális jelfeldolgozáshoz kitűnően használhatók. Amennyiben szükséges soft-core processzor szintetizálható a rendszerbe, kiegészítve ezzel a párhuzamosan futó blokkokat egy soros végrehajtású CPU-val. A feladat bonyolultságát figyelembe véve egy kisebb teljesítményű FPGA is kielégítő lehet, azonban még ezek ára is igen magas, illetve legtöbbjük BGA tokozású, amely kisebb szériás termékek esetén, illetve prototípus gyártásnál problémákat okozhat.

3.4.3. Mérő IC, beégetett DSP kóddal

Több gyártó kínál komplett megoldásokat egy tokban realizálva. Ezek tartalmazzák az analóg végfokot, nagy felbontású analóg-digitális átalakítót, valamint egy előre felprogramozott digitális jelfeldolgozó processzort. Az Analog Devices egyik termékcsaládja még 5kV RMS izolációt is biztosít a digitális interfészhez egy tokban, illetve ugyanitt leválasztott segéd tápot is előállít a mérő oldalnak. Ezeknek a megoldásoknak előnye a remek pontosság, jó paraméterezhetőség, illetve a sokkal rövidebb fejlesztési idő. A különböző kompenzációs algoritmusok minden implementálva vannak, a fejlesztőnek az alkalmazáshoz megfelelően kell konfigurálnia a mérőt, majd a kész adatokat kell kiolvasnia és felhasználnia. Közös hátrány azonban, hogy a gyártó bármikor kivonhatja az adott típust a forgalomból, így a fejlesztőnek át kell terveznie a terméket, újra bevizsgáltatnia, ami költséges és időigényes lehet, ezért ennél a megoldásnál elengedhetetlen utánánézni az adott alkatrész beszerezhetőségének.

3.5. Választott megoldás

A felsorolt tulajdonságokat összevetve, illetve súlyozva azok fontossága szerint, feszültségméréshez az Analog Devices ADE7978 beégetett kódú DPS-jét, illetve az ehhez a családhoz tartozó ADE7933-as, 3 analóg-digitális átalakítót, 5kV-os digitális izolációt, illetve tápleválasztást tartalmazó mérő IC-t választottam. Ez a típus elsősorban sönt ellenállásos árammérést támogat. Ezekkel az alkatrészekkel a specifikáció kielégítéséhez szükséges pontosságú, kis méretű megoldást lehet kialakítani. A választott megoldás ugyan áramméréshez sönt ellenállást használ, azonban ennek értéke rendkívül alacsony, mivel az ADE7933 árammérő bemenetén a feszültség $+31.25\text{mV}$, amennyiben ehhez a 6mOhmos tervezett mérősort vesszük, a maximális disszipáció nem haladja meg a 100mW-ot sem, így a választott mérési elv nem jár jelentős hőfejlődéssel.



3.2. ábra. Rendszer felépítése

Egy használható áramváltó, melyet később a tesztalkalmazásban is választottam, a Schneider Electric 16451-es 50/5-ös áramváltó transzformátora. Ezzel a 32A-re biztosított vonalak árama jól fedi a tervezett mérési tartományt. Az áramváltó primer vezetékének átmérője maximálisan 21mm, a szekunder oldali kivezetésre villás sarukkal lehet csatlakozni. A transzformátor pontossági osztálya a terhelés nagyságától függ, a TODO TODO táblázat mutatja a garantált értékeket.

CI	0,5	1	3
VA		1,25	1,5

3.2. táblázat. 16451-es áramváltó transzformátor pontossága terhelés függvényében

Mivel a mérő az árammérő csatornán kevesebb mint 100mW-ot disszipál el, így legalább 1%-os pontossággal számolhatunk kalibráció nélkül.

Maga a mérő, mivel minden csatorna izolálva van egymástól, akár áramváltó transzformátor nélkül is alkalmazható, így az egyes csatornák a fázisok potenciáljára kerülnek. Az elrendezést a mérő IC adatlapjában is feltűntetik.

3.5.1. Elméleti specifikáció, funkcionalitás

A rendszer felépítésének megtervezése után vessük össze az elméleti pontosságokat, illetve kinyerhető adatokat a ProField AF500-as modul értékeivel a 3.1-es táblázat alapján.

0,1%-os alkatrészek alkalmazásával az ADE7978 adatlapja a következő tipikus pontossági értékeket adja meg:

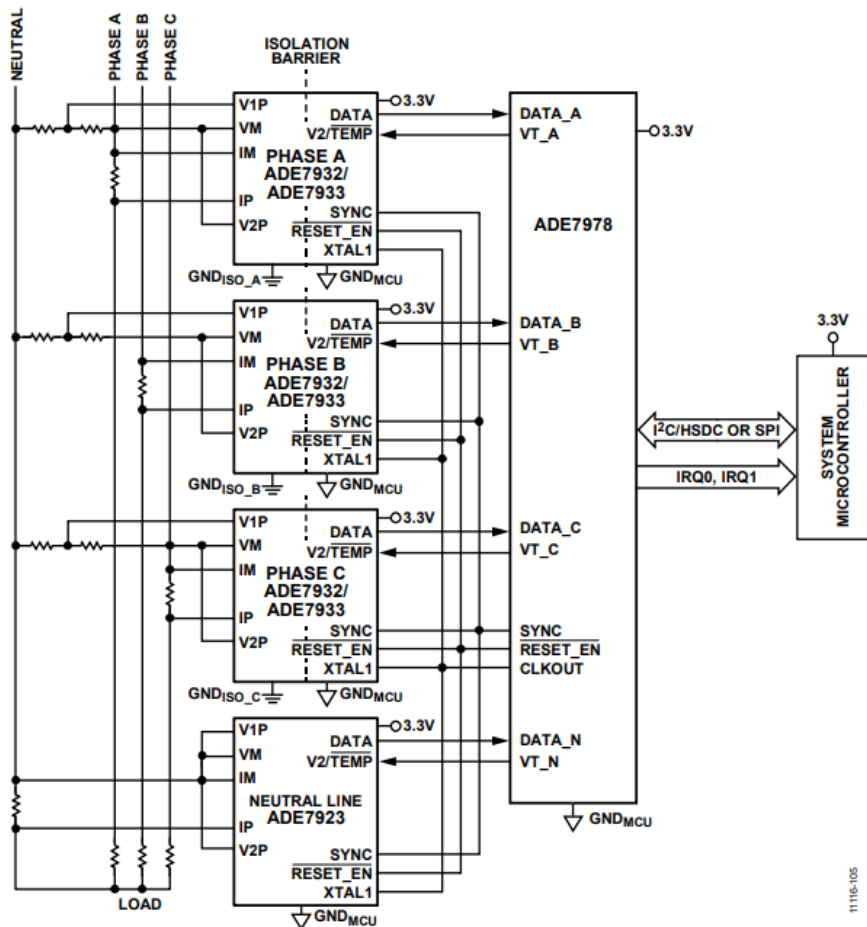


Figure 111. 3-Phase, 4-Wire Wye Meter with One ADE7978, Three ADE7933/ADE7932 Devices, and One ADE7923

3.3. ábra. Áramváltó nélküli mérési elrendezés

Az AF500-zal összevetve az elméleti pontosság tekintetében a CR-PM3 képes lehet jobb eredményeket szolgáltatni megfelelő kalibrációval, alkatrészválasztással. Nézzük meg, milyen információkat nyerhetünk ki közvetlenül a mérő IC-ből, megfelelő regiszter konfigurálás után:

1. *Effektív fázis feszültségek*
2. *Effektív fázis feszültségek alapharmonikusa*
3. *Effektív fázis áramok*
4. *Effektív fázis áramok alapharmonikusa*
5. *Fázisonkénti teljes hatásos energia*
6. *Fázisonkénti alapharmonikushoz tartozó hatásos energia*
7. *Fázisonkénti teljes meddő energia*
8. *Fázisonkénti alapharmonikushoz tartozó meddő energia*

Paraméter	Tipikus érték
Hatásos teljesítmény	0.1% (Kompenzáció után)
Meddő teljesítmény	0.1% (Kompenzáció után)
Mérési sávszélesség	3.3kHz
Effektív feszültség	0.1%
Effektív áram	0.25%
Névleges frekvenciatartomány	45-65Hz

3.3. táblázat. ADE7978 tipikus pontossági értékei 0.1%-os alkatrészek alkalmazásával

9. Fázisonkénti látszólagos energia
10. Feszültség csúcs egy előre megadott hálózati periódus számban
11. Fázisonkénti áram csúcs egy előre megadott hálózati periódus számban
12. Fázisonkénti túláram esemény (Egy konfigurálható határértékhez képest)
13. Fázisonkénti túlfeszültség esemény (Egy konfigurálható határértékhez képest)
14. Fázisonkénti feszültség letörés esemény (Egy konfigurálható határértékhez képest)
15. Fázisonkénti teljes hatásos teljesítmény
16. Fázisonkénti teljes meddő teljesítmény
17. Fázisonkénti teljes hatásos teljesítmény
18. Fázisonkénti teljes látszólagos teljesítmény
19. Fázisonkénti teljes harmonikus torzítás a feszültségben
20. Fázisonkénti teljes harmonikus torzítás az áramban
21. Fázisonkénti zérus terhelés esemény (Egy előre konfigurálható határértékhez képest)
22. Fázisonkénti teljesítmény tényezők
23. Fázisonkénti hálózati periódusidők

Ezek mellett rendelkezésre áll a nullvezető effektív árama, valamint az összes pillanatnyi kiolvasott érték 8kSPS gyakorisággal. Látható, hogy azokat az igényeket, amelyeket az AF500 funkcionális kielégített, a CR-PM3 is ki fog tudni szolgálni, illetve utóbbi további hasznos információkat szolgáltathat igény szerint, melyek az AF500-nál még nem álltak elő.

4. fejezet

Hardver konstrukcio

4.1. Szabványosság

Egy eladásra szánt terméknél elengedhetetlen a szabványoknak való megfelelés, azonban ezen szabványok megismerése és betartása jelentős feladat a projekt fejlesztése során. Egy-egy ilyen dokumentum értelmezéséhez jelentős villamosmérnöki háttértudás és utánajárás szükséges, ugyanakkor rendkívül tanulságosak, hiszen ezek egy jelentős része kifejezetten a villamosmérnöki gyakorlat tapasztalatai alapján készültek el. Már önmagában az is kihívás lehet, hogy egy adott terméknek mely szabványoknak kell megfelelnie, ugyanis bizonyos terméket funkcióit tekintve akár több szabvány is érinthet, néhányra azonban csak általános szabványok vonatkoznak. 444

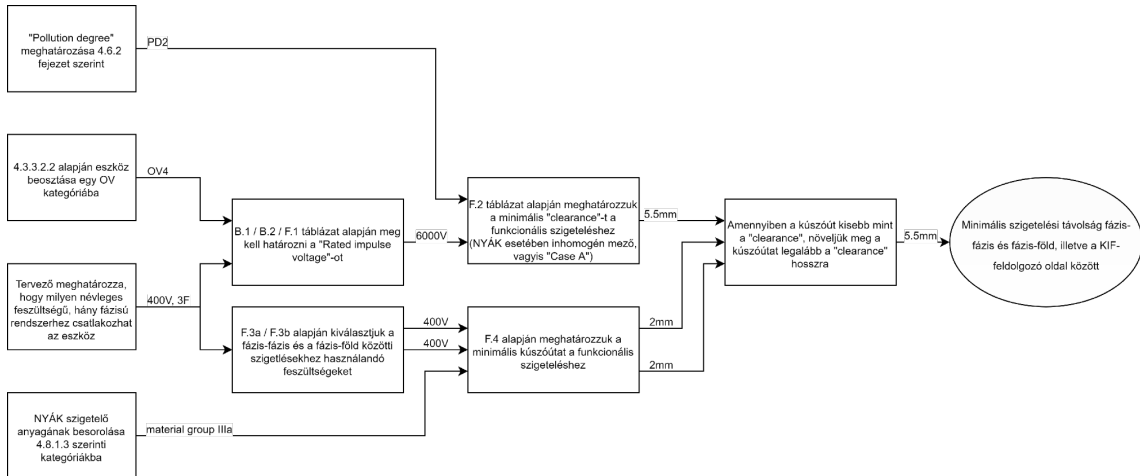
4.1.1. Szigeteléskoordináció

Az egyik betartandó szabvány az IEC 60664, "Kifeszültségű rendszerek villamos szerkezeteinek szigeteléskoordinációja". Ez a dokumentum írja le az eljárást, amely alapján meg kell határozni a szigeteléshez szükséges légközöket, kúszóutakat. A dokumentum értelmezése a termékek és felhasználási helyének sokfélesége miatt időintenzív, éppen ezért egy segítő folyamatábrát készítettem, amivel egyszerűbb a szükséges minimális távolságok meghatározása.

4.1.2. EMC

Az elektromágneses kompatibilitás (EMC) egy termék megfelelő működését jelenti a (villamos) környezetében, anélkül, hogy az más eszközben elfogadhatatlan (villamos) zavarokat kelte. Ebből következik a két komponense:

1. *Immunitás*, amely a zavartűrő képessége a vizsgált eszköznek.
2. *Emisszió*, ami pedig a zavarkibocsátását írja le.



4.1. ábra. Szigeteléskoordináció IEC 60664 alapján

A tervező mérnöknek a kapcsolási rajz készítése, alkatrészek kiválasztása, NYÁK rétegszám meghatározásánál és rajzolat kialakításánál számításba kell vennie, hogy az immunitásnak jobbnak kell lennie, mint a szabványok által előírt minimális, az emissziónak pedig alacsonyabbnak, mint a megadott maximális határérték. Sajnos, a villamosmérnöki szakma egyik legkevsébé egzakt tudományterülete az elektromágneses kompatibilitás, gyakran ”fekete mágiának” tartják, mivel itt már a koncentrált paraméteres modell nem minden állja meg a helyét, illetve a diszkrét kondenzátorok induktív karakterisztikát is mutathatnak, a tekercsek pedig kapacitívat, de egy széles spektrumú zavaró jelenél, mint például egy ESD esemény, a frekvencia tartomány különböző részein más-más jelleget mutathatnak az alkatrészek. Tovább nehezíti a terület problémáinak tiszta megértését a hiba lokalizálása, mivel egy komplex áramkör esetén egy néhány pF-os mérőfej is jelentősen befolyásolja a méréndő rendszert, általában csak a termék teszt alatti meghibásodásából következtethetünk ahibaforrásra. Az áramkör készítője lényegében csak törekedni tud a megfelelésre, garantálni azt csak utólagos mérésekkel lehet, illetve amennyiben az áramkör egyik verziója elbukik az EMC teszteken, akkor az alkatrész értékek változtatásában lehet bizakodni.

TODO CITÁCIÓZÁS www.emtest.com what is standards.php

EMC követelmények számos szabványban szerepelnek, ezek struktúrája a következő:

- Alapszabványok (Basic standards):** Ezen szabványok mutatják be a vizsgált jelenségeket, leírják a teszteszközök tulajdonságait, valamint bemutatják a szükséges mérések helyes elvégzésének lépéseit.
- Általános szabványok (Generic standards):** Bizonyos felhasználási területekre írnak elő szükséges teljesítendő teszt szinteket, utalva az alapszabványokban leírt mérésekre. Az ebbe a kategóriába tarozó előírásokat abban az esetben kell alkalmazni, amennyiben nincs termékszabvány.
- Termékszabványok (Product standards):** A legspecifikusabb szabványok, melyek szigorú követelményeket támasztanak elő egy konkrét termékkel kapcsolatban. Ezekben

a dokumentumokban különleges teszteket is előírhatnak, melyek sem az alapszabványokban, sem az általános szabványokban nem szerepeltek.

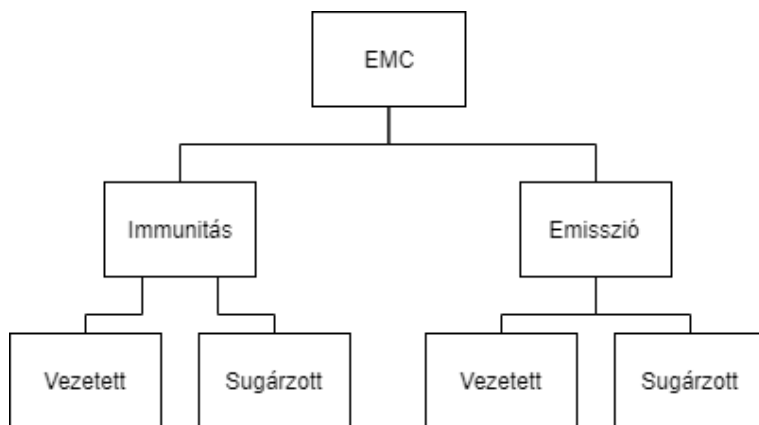
Egy termék tesztelése esetén a TODO BEHIVATKOZNI A FENTI LISTÁT I GUESS fenti listán alulról felfelé haladva kell meghatározni a legszigorúbb szinteket. Egy háztartási vízforraló példáján keresztül nézzük a lépéseket:

1. *Alapszabvány*: IEC 61000-4-x sorozat, tartalmazza a különböző EMC jelenségek leírását, méréseket.
2. *Általános szabvány*: IEC 61000-6-1, lakossági felhasználású eszközök teszt szintjei.
3. *Termékszabvány*: EN 55014-1, háztartási eszközök követelményei.

A fenti listából, mivel létezik termékszabvány, annak az értékeit vesszük, és az alapszabvány tesztejeit hajtjuk végre.

TODO KÉP A TIPIKUS FORRÁS ÉS NYELŐRŐL

Egy elektronikus eszköz tervezése során nem elég a mérnököknek laborkörülmények között működő terméket készíteni, gondolni kell a későbbi tényleges használat során felmerülő zavaró hatásokra. Ennek a figyelmen kívül hagyása miatt találkozhatunk például olyan olcsóbb USB-s egerekkel, amelyek elveszítik a kapcsolatot a számítógéppel egy másik eszköz csatlakoztatásakor.



4.2. ábra. EMC vizsgálatok osztályzása

Immunitás

A zavarérzékenység vizsgálatához különböző zavaró jeleket viszünk be a rendszerbe, melyek valamilyen ténylegesen előforduló jelenséget hivatottak szimulálni.

1. *Burst*: Ez a zavar egy kontaktuson kialakult, prelegő ív sorozat hatását utánozza. A hatását csökkenteni megfelelő földeléssel, közösmódusú folytó tekercsekkel lehet.

2. *Surge*: Induktív terhelések kapcsolása, biztosítékok kiégése, illetve villámcsapások másodlagos hatásaként jönnek létre hasonló, nagy energiájú jelalakok. Különböző túlfeszültség vezetők alkalmazásával, például varisztorokkal, TVS diódákkal lehet megvédeni a készüléket.
3. *ESD*: A leggyakrabban előforduló, hétköznapok során is megtapasztalt jelenség, mely gyakran a legnagyobb fejfájást okozza a fejlesztőnek, mivel nagyon rövidejű a lefutása, széles a spektruma. Megfelelő földeléssel, kondenzátorokkal, ellenállásokkal, ferritekkel és TVS diódákkal növelhető az ezek elleni immunitás.
4. *Vezetett RF*: Ez a zavar közeli kábelek induktív és kapacitív egymásrahatását utánozza. Az AM modulált zavarjelet gyakran demodulálják a félvezetők, ami hibás működéshez vezethet. A különböző csatlakozókon bejövő jelek megfelelő szűrésével, árnyékolt kábelek használatával lehet védekezni ellene.

Emisszió

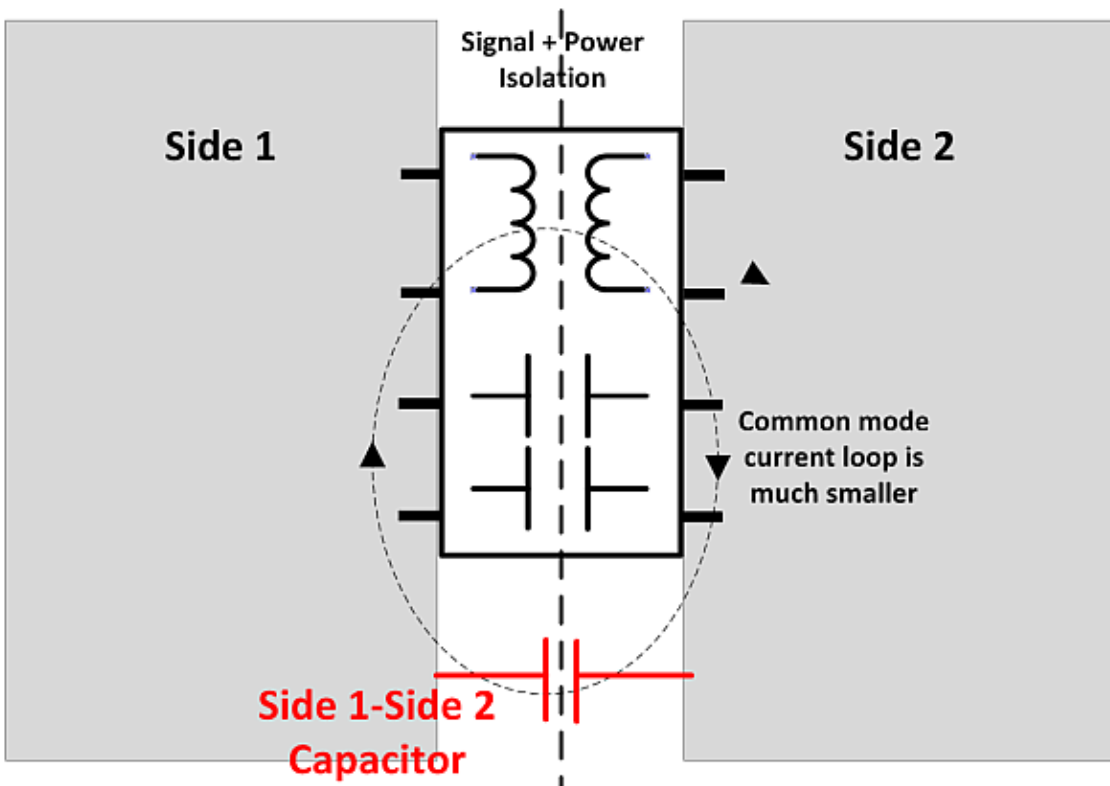
A zavarkibcsojtás mérése során elsősorban a vezetett és sugárzott zavarokat különböztetjük meg.

TODO klik rát, meg minden

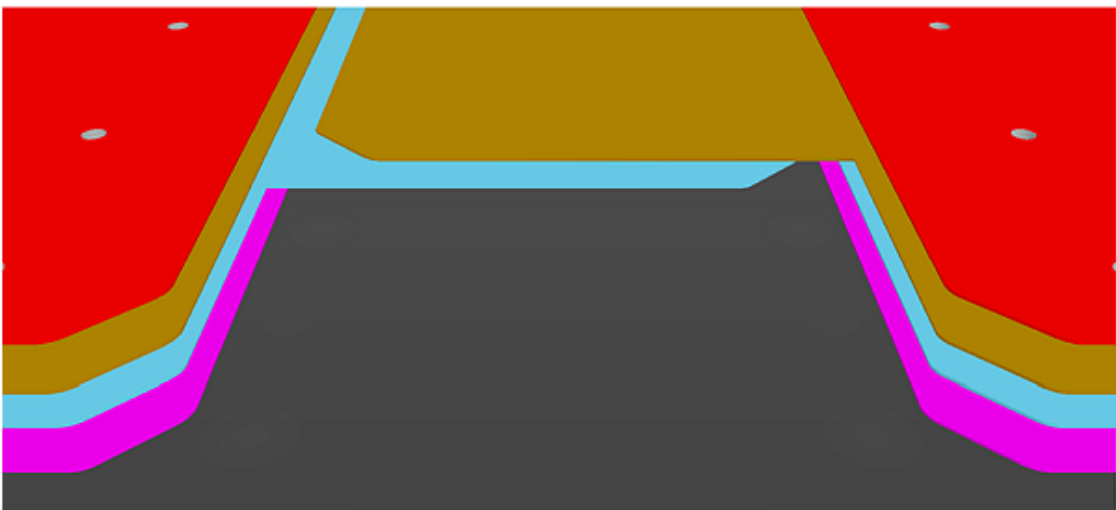
Sajnos a diplomaterv írása során nem volt lehetőség emisszió vizsgálatok elvégzésére egy EMC laboratóriumban, így erről nincsenek közölhető adatok. Valószínűsíthetőleg a vezetett zavarkibocsájtás nem haladja meg a határértéket, mivel a CR-PM3-nek csak bemeneti vannak, ezek pedig RC tagokkal csatlakoznak az analóg-digitális konverterekhez.

A sugárzott zavarkibocsájtást nagy valószínűséggel a 180MHz-en működő iCoupler alapú integrált tág leválasztók dominálják az ADE7933-akban, ezek a kritikus alkatrészek. Ahhoz, hogy egy apró tokozású, néhány mm-es alkatrészen belül tátót tudjanak leválasztani, a légmagos transzformátor nagy, több 10, de akár 100MHz-es frekvencián kell járatni. A probléma a transzformátor két oldala közötti kapacitásból következik, mivel ekkora frekvenciákon a primer oldal kapcsolási tranzisztori a szekunder oldalon közösmódusú zavarokat tud kelteni. Ezek a zavarok viszont csak a két oldal közötti, NYÁK szintű kapacitásokon keresztül tudnak záródni, ami így viszont jelentős méretű, nagyfrekvenciás áramhurkok létrejöttéhez vezethet.

Az innen származó sugárzás csökkentésére az egymástól elszigetelt földekét érdemes egy nagyfeszültségű, kis értékű, néhány száz pF-os kondenzátorral összekötni, amely megfelelő kapacitás érték választása esetén a zavart gyakorlatilag kisöntöli. A tényleges megvalósítás esetén szembekerülhetünk azzal a problémával, hogy a választott nagyfeszültségű kondenzátor soros induktivitása dominál a szükséges frekvenciákon, ezzel jelentősen csökkentve a zavarcsökkentő hatását. Ezt elkerülendő létrehozhatjuk a szükséges kapacitást a NYÁK-on is, a két oldal egymásra lapolásával. Ennél a módszernél figyelembe kell venni az FR4-es NYÁK dielektrikum szilárdságát, illetve a szabványok által előírt szükséges minimális szigetelési távolságokat.



4.3. ábra. Emisszió csökkentése integrált izolált táp esetén



4.4. ábra. Emisszió csökkentésének tényleges megvalósítása

TODO CITÁCIÓ! + a képre is!

4.1.3. EMC tesztek

Mivel a CR-PM3 a diplomaterv írásának idején még csak prototípus fázisban volt, nem vizsgáltattuk be azt külön hitelesített laborban, ahol az eszközpark bérlese jelentős költségeket jelent, ehelyett a Prolan Zrt. saját laboratóriumában végeztünk el bizonyos immunitás

teszteket. Az itt rendelkezésre álló speciális műszerek:

1. *EM Test DITO*: IEC 61000-4-2-ben leírt tesztnek megfelelő kézi elketrosztatikus kisülés generátor
2. *EM Test UCS 500 M*: Burst, surge, tápkimaradás szimulátor.
3. *PMM 3000*: 10kHz-1GHz átfogású jelgenerátor
4. *PMM 6000N*: 9kHz-230MHz átfogású erősítő

A CR-PM3 teszteji során az IEC 62052-11:2003 termékszabványban találhatóak a szükséges mérési szintek, illetve speciális mérési előírások.

ESD (IEC 61000-4-2)

Mivel a CR-PM3 semmilyen vezető felülete nem érinthető a felhasználó által, így nem szükséges a közvetlen kisülést vizsgálni, elég csupán a közvetett esetet nézni, amikor egy horizontális és vertikális csatolósíkkal juttatjuk be a zavarokat a rendszerbe.

Erre a tesztre az előírt feszültség 8kV, amit az STM32-es processzor hiba nélkül kibírt mind a két csatolási síkkal, azonban az ADE7978 +6kV-nál és -3kV-nál is újraindult horizontális csatolósíknál. A termékszabványban szereplő kritérium ugyan elfogadhatónak tartja az átmeneti funkcióvesztést, ez mégis a termék robosztusságát, illetve annak hiányát jelzi. Miután több alkatrész érték megváltoztatása sem hozott lényegi javulást, arra a következetésre jutottunk több kollégámmal, hogy az áramkört mindenkorral legalább 4 rétegű NYÁK-ra kell tervezni a javított zavarvédelem érdekében.

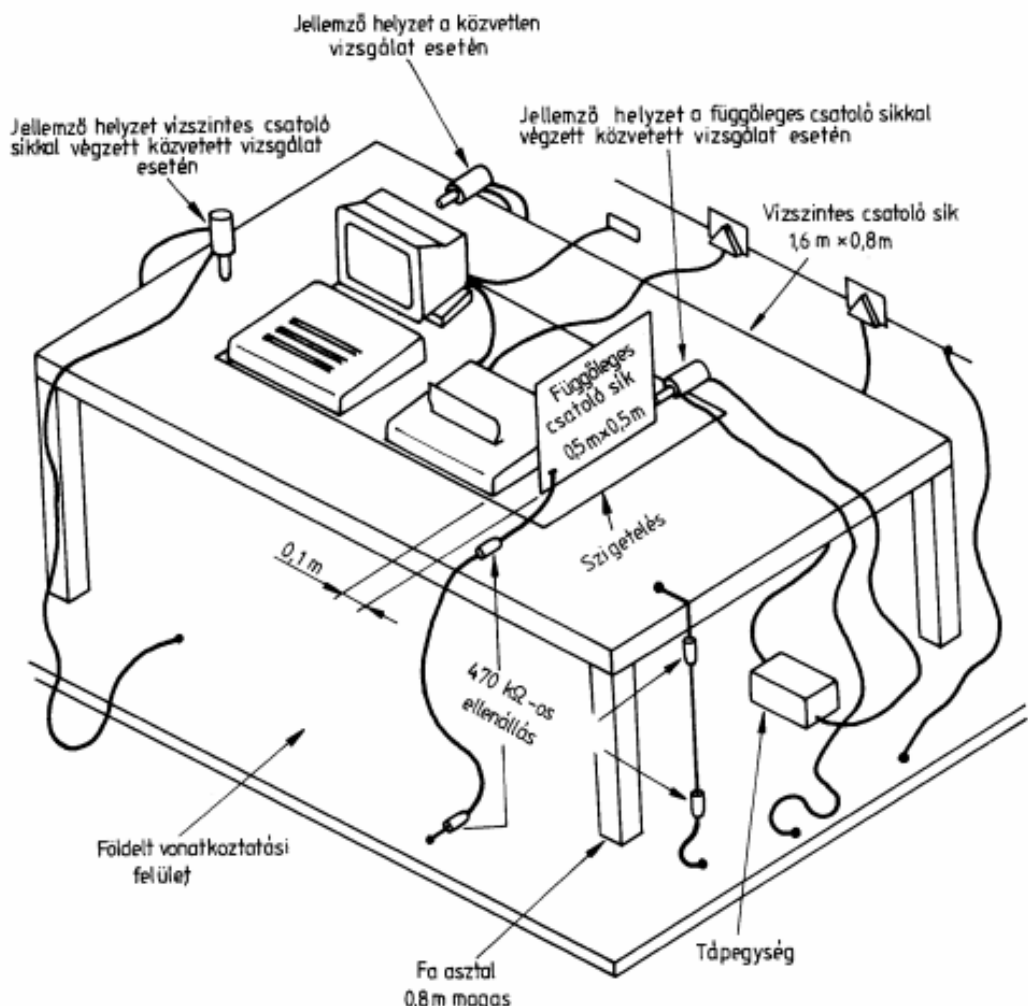
Burst (IEC 61000-4-4)

A méréshez a közvetlen söntös elrendezést alkalmaztuk, mivel így valószínűleg nagyobb zavar jut a mérőhöz, mint egy áramváltó transzformátoron kereszttüli bekötés esetén. A terhelés egy elektromos fűtőtest volt, amivel az áramcsatornán nagyjából a mérési tartomány közepére jutó terhelés alakult ki.

A mérés során nem történt funkcióvesztés, a webes felületen keresztül folyamatosan nyomon tudtuk követni a vizsgált értékeket a webes felületen keresztül.

Surge (IEC 61000-4-5)

A mérési elrendezés nem változott a burst vizsgálathoz képest, minden össze a szimulátor beállításait kellett módosítani.



4.5. ábra. ESD mérési összeállítás

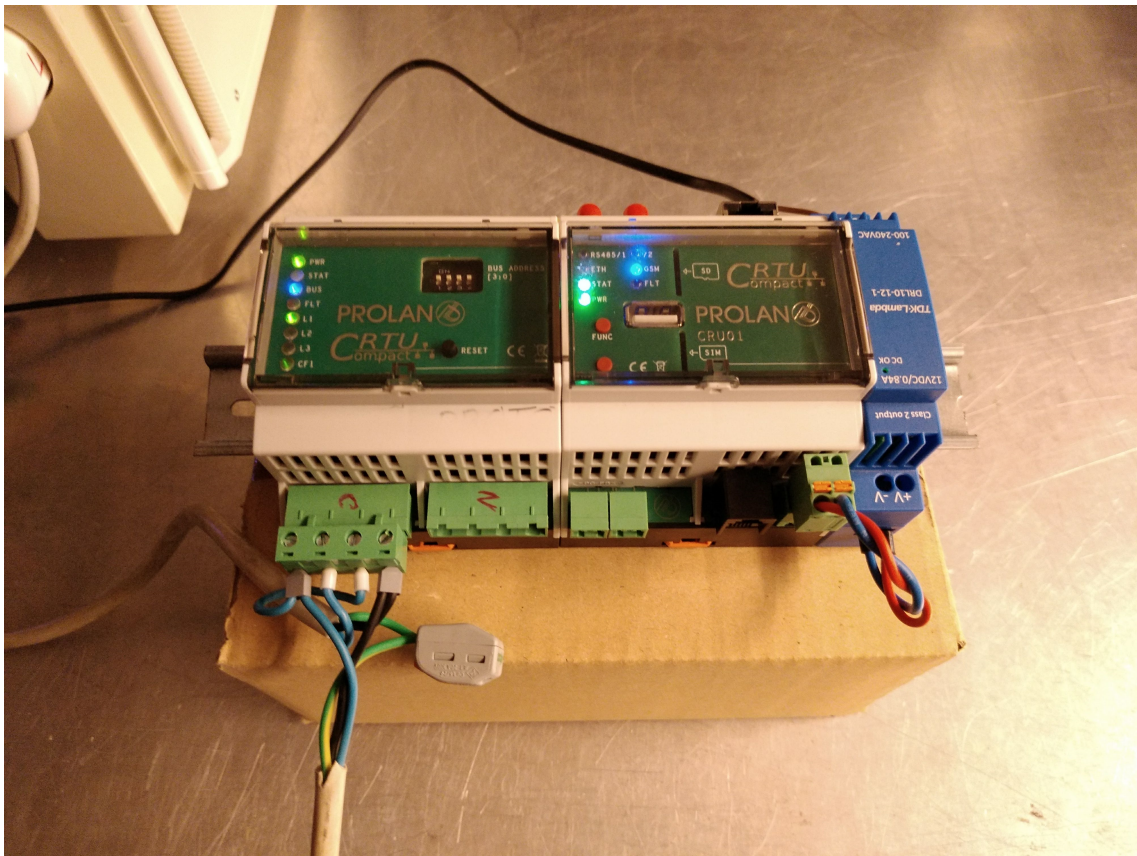


(a) Zavarás vertikális csatolósíkkal

(b) Zavarás horizontális csatolósíkkal

4.6. ábra. ESD teszt csatoló síkokkal

A méréshez a szabvány 1/min maximális frekvenciát ír elő, mivel a lehetséges védelmek (pl. varisztor) tulajdonságai melegedés hatására megy változhatnak. Mivel mi a házi labora-



4.7. ábra. Burst és surge teszt mérési összeállítása

tóriumban egy előmérést végzünk, az előírt paramétertől eltérően, 15 másodperces gyakorisággal kapcsoltuk a zavaró jelet a készülékre.

Ezen a teszten sem történt funkcióvesztés, az értékek a webes felületen folyamatosan frissültek.

Vezetett RF (IEC-61000-4-6)

A rádiófrekvenciás terek által keltett vezetett zavarok vizsgálata során nem tapasztaltunk hibás működést. A zavaró jel 150kHz-tól 80MHz-ig pástázta végig a frekvenciatartományt.

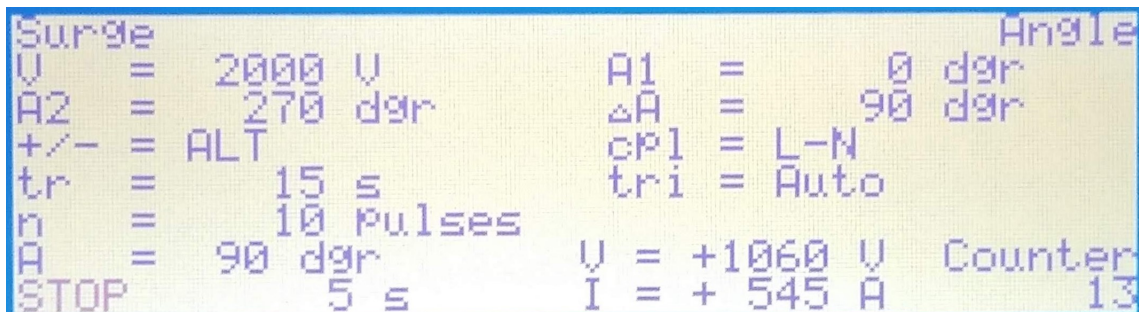
4.1.4. Javítási tervezek

Sajnos a diplomaterv leadásáig nem volt már időm újratervezni a készüléket, azonban a következő módosításokat kellene végrehajtani a következő prototípus legyártása előtt:

- Rétegszám növelése:* Kétségkívül a legfontosabb módosítás legalább két további réteg felvétele, amelyek egybefüggő földkitöltést, illetve táp szigeteket tartalmaznak. Ezek a visszaáramok szempontjából alacsony impedanciás utat biztosítanak, táp szempontjából pedig egy nagyon alacsony impedanciájú, néhány 100pF-os kondenzátort jelen-



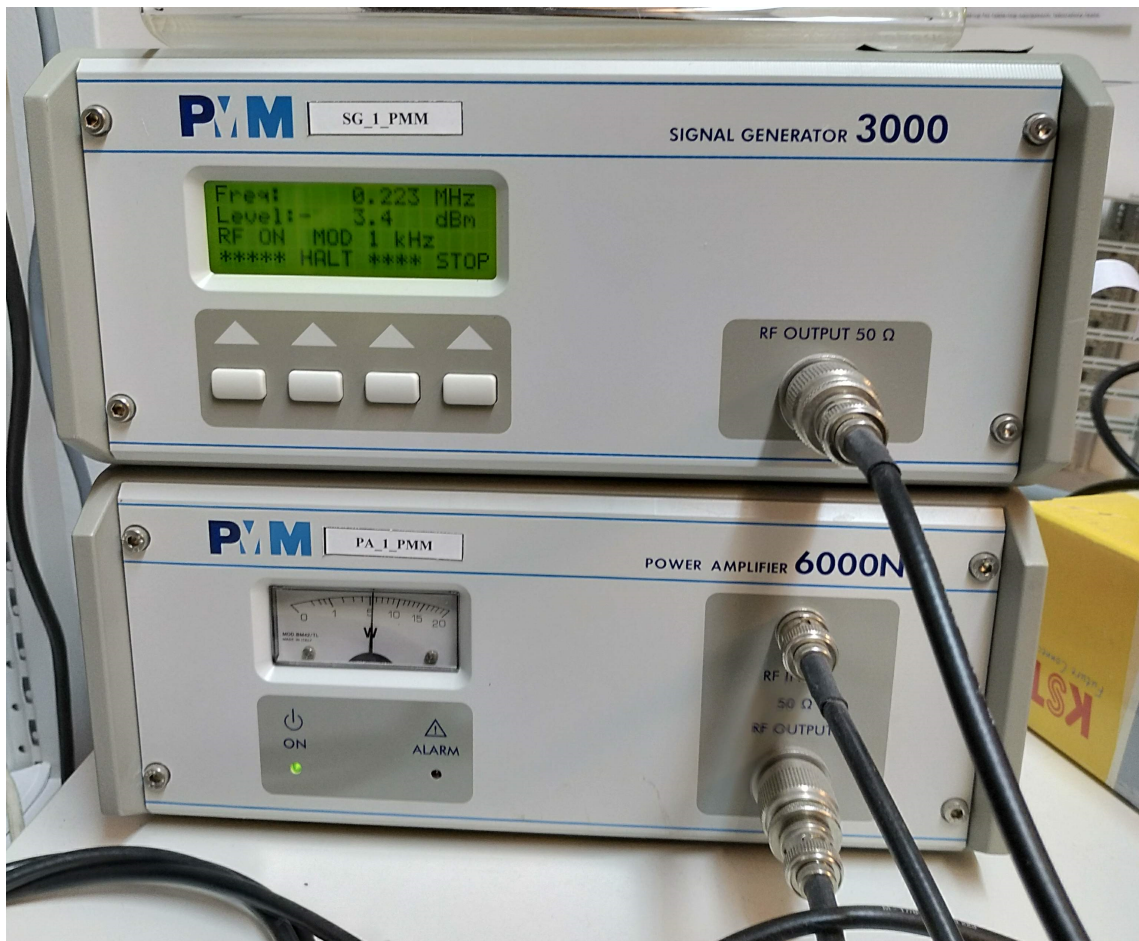
4.8. ábra. Szimulátor beállításai burst teszthez



4.9. ábra. Szimulátor beállításai surge teszthez

tenek, amely nagyobb frekvenciákon (például ESD által keltett tranziensek spektrumának egy jelentős része) kiemelten fontos. Ezek mellett természetesen árnyékolást is biztosítanak a kitöltött rétegek.

- ADE7978 áthelyezése:* Jelenleg a CR-PM3A és CR-PM3C közötti csatlakozón keresztül van vezetve az ADE7978 és a négy ADE7933 összes kommunikációs vonala. Mivel egy-egy tűsor középpontja egymástól 2.54mm-re helyezkedik el egymástól, ezért ott nem elhanyagolható méretű hurkok vannak, amely zavartúrás és kibocsájtás szempontjából sem szerencsések. Ezt csökkenteni úgy lehetne, hogy a DSP-t áthelyezzük az alsó NYÁK-ra, így az ADE7978 és mikrokontroller közötti SPI, reset, interrupt és táp vonalakat kell csak átvinni.



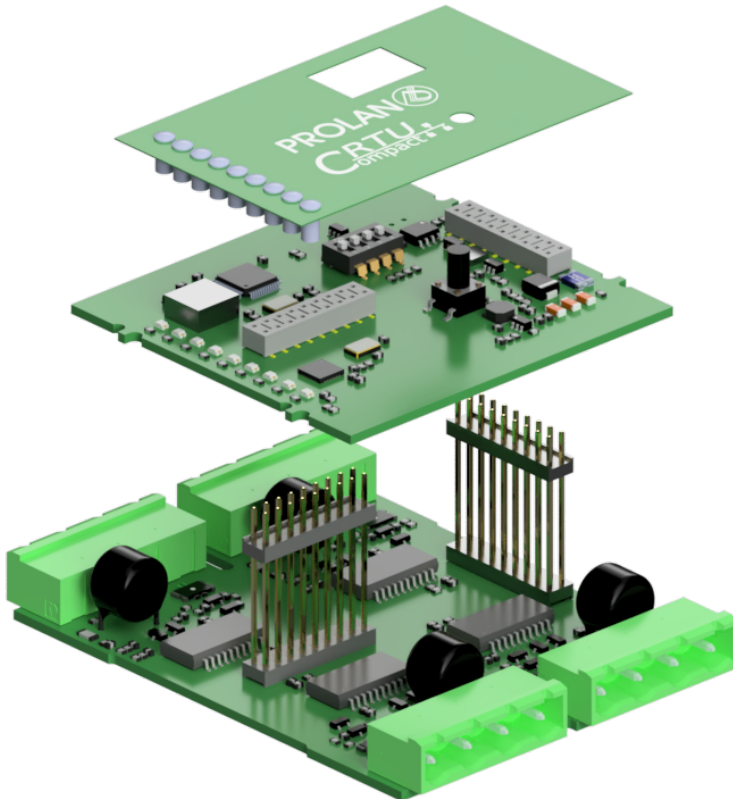
4.10. ábra. Vezetett RF zavarok mérési összeállítása

3. *SPI vonalak lezárása:* A különböző vonalak impedancia illesztésének elhanyagolása okozhat EMC problémákat, akár emisszió, akár immunitás tekintetében, mivel normál működés közben reflexiók alakulnak ki, amelyek hosszú vonalakon a zavar-kibocsátáshoz járulhatnak hozzá. Amennyiben a zavaró jeleket kívülről csatoljuk a vonalra, azok szintén tudnak reflektálódni az illesztetlen lezárásokon (pl. nagy impedanciás digitális bemenetek) így azok zavaró hatása hosszabb ideig áll fenn. Ezekre a problémákra megoldásként a leggyakrabban soros lezárást alkalmazunk a meghajtó oldalon, amennyiben ez nem bizonyul elégnek, párhuzamos RC lezárást a fogadónál.
4. *NYÁK kapacitás kialakítása:* A táp és a föld közötti kapacitáson túl, egy zajvédelmi kondenzátor is kialakításra kerülhet több rétegű konstrukciónál, amely az ADE7933-as IC-k alatt, az izolált oldalak és a rendszer földje közé kerülnek. Ezt a kapacitást az angol terminológia "stitching capacitor"-nak nevezi, szerepe pedig, hogy a leválasztás során keletkezett zavarokat csökkentse.

4.2. Mechanika

A CR-PM3 háromfázisú teljesítménymérő modul három nyomtatott áramköri lapból épül fel, ezek rendre:

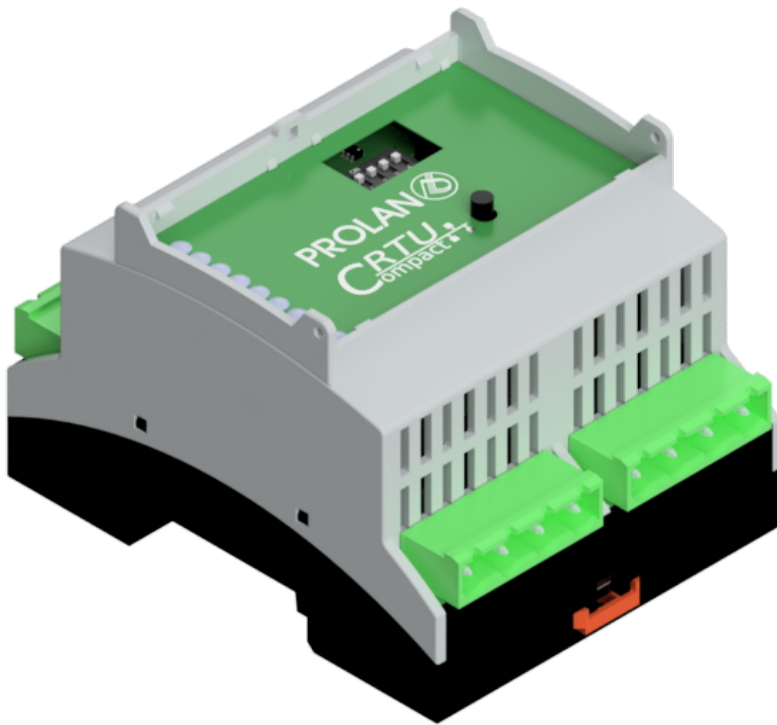
1. *CR-PM3A*: A "front-end"-et valósítja meg, itt kapott helyet a 4 darab ADE7933 izolált mérő IC, az ezekhez kapcsolódó elektronika, valamint a KIF csatlakozók.
2. *CR-PM3C*: A mikrokontroller, illetve az ADE7978 égetett kódú DSP helyezkedik el ezen a szinten.
3. *CR-PM3P*: Elektronikai funkciót nem lát el, csupán a termék előlapja.



4.11. ábra. *CR-PM3 összeállítása*

A készüléken 4 csatlakozó található, ezek a 3 fázis, valamint a nulla vezetőhöz tartozó jelek csatlakoztatásáért felelősek. Egy ilyen csatlakozónak a kiosztása: I-, I+, V-, V+

A két elektronikát tartalmazó emelet közötti kapcsolatot a Samtec által gyártott speciális, DW családba tartozó tűsorával, és HLE családba tartozó hüvelysorával valósítottam meg. A DW tűsorok a szokványos társaiktól eltérően egy további műanyag távtartóval rendelkeznek, amely magasságát 5 mil felbontással lehet megválasztani a gyártó honlapján. Ezzel a távtartóval egyszerűen be lehet állítani a két NYÁK távolságát, az összeszerelést jelentősen egyszerűsíti. A HLE hüvelysor pedig egy "Pass-through" típusú csatlakozó, vagyis akár



4.12. ábra. *CR-PM3 a készülékházban*

alulról, akár felülről is képes fogadni az ellenpárrját. Ez utóbbi tulajdonságát kihasználva tudtam a CR-PM3C-t egyoldalas szerelésűre kialakítani, mivel a NYÁK-on a csatlakozó felül helyezkedett el, alatta pedig fémezetlen furatok lettek kialakítva, így alulról akadálymentesen tudott a tűsor kontaktus kialakítani.

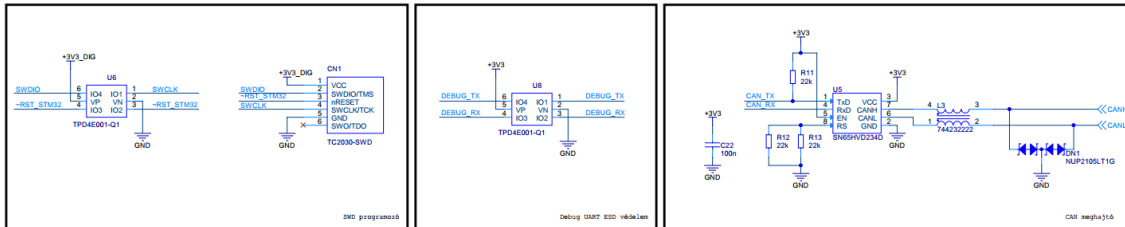
Az előlapon a C-RTU család minden tagján kötelező bizonyos állapotokat LED-del megjeleníteni. A tervezés fázisában a tényleges megvalósításra nem volt teljes előírás, ezért a modulon egy addig nem használt megvalósítást próbálhattam ki. SMD LED-eket helyeztem el a CR-PM3C-n, majd a CR-PM3P előlapra bepréselhető Bivar PLP2-215 polikarbonátból készült, 3mm-es fényvezetőit terveztem. Ezzel a megoldással a furatszerelt LED-ek beültetését, váltottam ki, amely során nehézkes az alkatrész magasságának a pontos beállítása, ellenben egy fényvezető bepréselésének eredménye kellően konzisztens eredményt tud adni.

4.3. Kapcsolási rajz

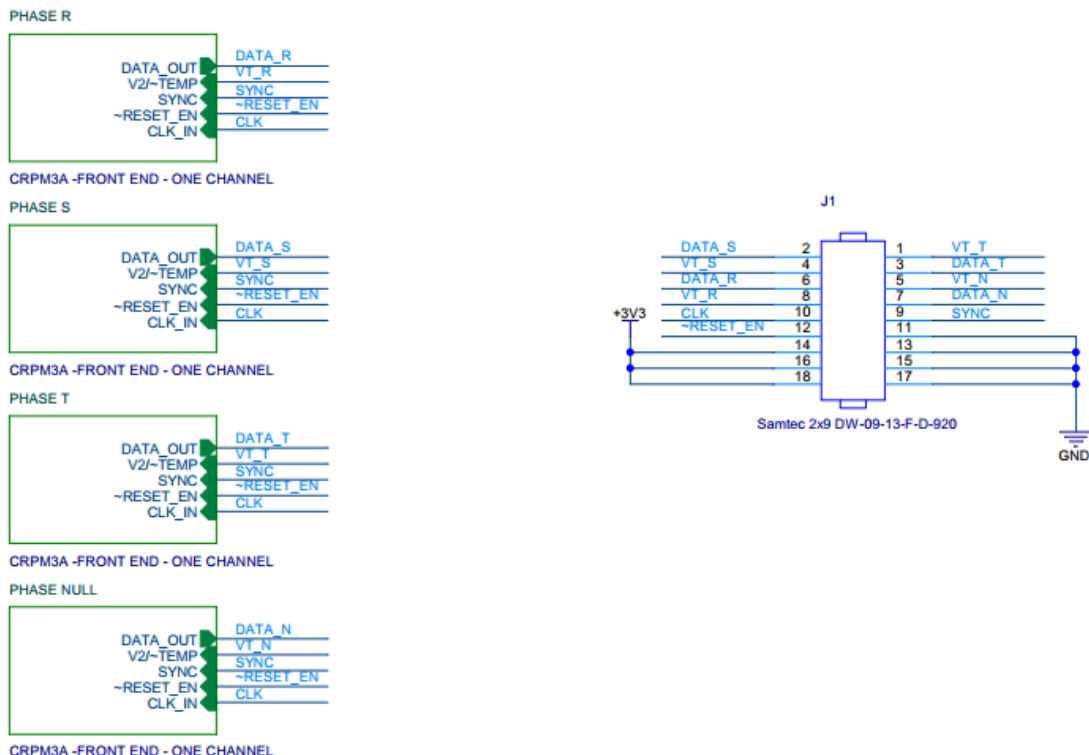
A kapcsolási rajzot OrCAD Capture-ben hoztam létre, melynek számos funkciója segíti a tervező mérnökök, illetve a gyártás előkészítés munkatársainak közös munkáját. A tervező az alkatrész lehelyezésekor láthatja, hogy az adott komponensből hány darab van raktáron, mennyi annak a beszerzési ára, így elkerülhetők az olyan szituációk, hogy egy már nem

beszerezhető, vagy feleslegesen drága alternatíva kerül egy új termékbe.

A kapcsolási rajzok készítése során bizonyos formázási kérdések a fejlesztőre vannak bízva. Az átláthatóság érdekében én ahol csak lehet a hierarchikus felépítést, illetve a lapokon belüli további, az értelmezést segítő felbontást preferálom.



4.13. ábra. Lapon belüli felbontás



4.14. ábra. Hierarchikus tervezés

A CR-PM3C-n egy 3.3V-os tápegységet és a hátlapi buszfeszültség visszaolvasását leszármítva tisztán digitális áramkörök helyezkednek el. Ezen a NYÁK-on a főbb komponensek:

1. *C-CAN címbeállító switch*: Ez egy 4 karos kétállású kapcsoló, melynek az állását inicializáció során olvassa ki a kontroller.
2. *3.3V-os tápegység*: Ez a Richtek RT7285/A kapcsolóüzemű tápegységén alapul, a hátlapi 12V-ból állítja elő a modulnak szükséges tápfeszültséget.
3. *Előlapi LED-ek*: A C-RTU moduloknak előírt színű LED-ek. Funkcióik sorban: státusz, busz kommunikáció, hiba, L1 fázis, L2 fázis, L3 fázis, illetve a DSP által vezérelt

CF1 és CF2, konfigurálható jelentéssel.

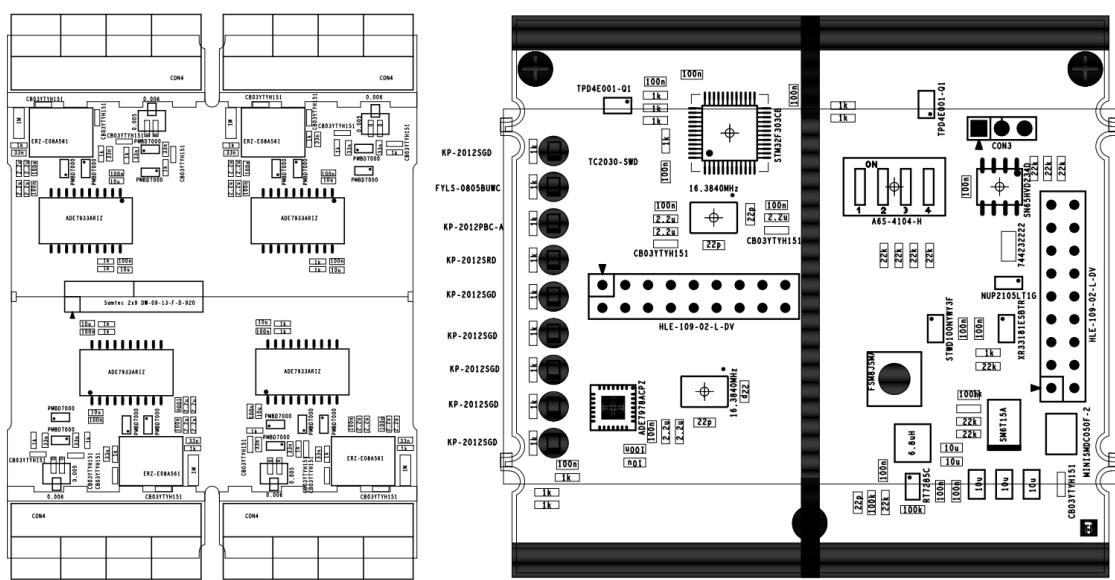
4. *Mikrokontroller*: Az STM32F303-as mikrokontroller, illetve a működéséhez szükséges alkatrészek.
5. *DSP*: Az ADE7978-as égetett kódú DSP.
6. *CAN meghajtás*
7. *Reset/PPS áramkör*: Ugyanazon a hátlapi két vonalon egy differenciális PPS jel van, amelynek a megszűnése egy rövid időn belül működteti a reset áramkört.
8. *Reset gomb* Rövid idejű nyomvatartása után a reset áramkört működésbe lép.
9. *Debug UART csatlakozó*: A fejlesztéshez használandó, ESD védelemmel van ellátva.
10. *Programozó csatlakozó*: Ez egy Tag Connect csatlakozó, ami gyakorlatilag tisztán NYÁK rajzolattal kialakítható, nem szükséges alkatrészt beültetni hozzá.
11. *Busz és emelet csatlakozók*: Samtec "Pass-Through" keresztülmenő hüvelysorok.

A CR-PM3A-n a 4 darab ADE7933-as mérő IC, illetve az ezekhez szükséges alkatrészek, az emeleti tűsor csatlakozó, továbbá a csatornák védelmei, a mérő söntök, a nagyfeszültségű ellenállás osztók és a KIF csatlakozók találhatók.

4.4. NYÁK terv

A nyomtatott áramköri tervezet Allegro PCB Designer-ben valósítottam meg, költséghatékonyági szempontból 2 rétegen. Fontos feladat a tervezet készítésekor figyelembe venni a gyárthatósági szempontokat, hiszen az alkatrész és NYÁK költségek mellett a termék önköltségéhez ugyanúgy hozzájárul a gyártás ára.

Első lépésként a készülékház gyártója által szolgáltatott 3D modellból indultam ki, amelyben a különböző szintekhez tartozó sablonok találhatók. Ezekből .dxf kiterjesztésű, 2 dimenziós rajzokat készítettem, majd ezt importáltam be a tervező programba az "Outline" rétegre. Ezt követően elhelyeztem a csatlakozókat, mechanikai furatokat, illetve bejelöltetem azokat a területeket a NYÁK-on, ahol a készülékház miatt valamilyen megkötés van, például alsó/felső oldalra nem helyezhető bizonyos értéknél magasabb alkatrész. Ezután felvettek a kényszereket, majd elhelyeztem a LED-eket, címbeállító kapcsolót, valamint a reset nyomógombot, mivel ezek pozíciója határozza meg a felhasználói felületet, amennyire csak lehet, ergonomikussá kell tenni azt. Csak ezek után következett az összes többi alkatrész, ügyelve a szűrő kondenzátorok, kvarcok helyzetére, a táp vonalak huzalozásának integritására. A CR-PM3C-n via stiching-et alkalmaztam, ami segítségével szabályos rácsban viákat helyeztem el a GND rétegre, ezzel javítva a földelés minőségét. A via stiching jelentősen tudja javítani az immunitást, illetve csökkenteni az emissziót több rétegű NYÁK-ok esetén. A tervezet sikeresen elvégeztettem a szabályozásoknak megfelelően, így a modul gyártási költségét.



4.15. ábra. *CR-PM3A* és *CR-PM3C*

5. fejezet

Szoftveres komponensek

5.1. Mikrokontroller

A C-RTU kiegészítő moduljaiban leggyakrabban az STM32F303 mikrokontrollert használjuk, mivel ez a processzor már kellően erős az összes eddig felmerült feladat ellátására, ezek mellett viszont nagyobb darabszámnál viszonylag alacsony költségű.

A maximális órajel 72MHz, ehhez 90 DMIPS számítási teljesítmény társul. Tartalmaz ezek mellett FPU-t, ami az analóg alkalmazások esetén rendkívül hasznos. Perifériák tekintetében is jól felszerelt a kontroller, rengeteg timer, ADC csatorna és kommunikációs interfész áll a fejlesztő rendelkezésére.

5.2. Emulált EEPROM

Számos beágyazott rendszerben van szükség nem felejtő memória használatára. Ezek leggyakrabban külső flash, vagy EEPROM típusúak, újabban pedig már az MRAM magneto-rezisztív adattárolók szerepe is növekszik. Ezek a nem felejtő memóriák viszonylag alacsony plusz költséget jelentenek, a hely igényük a nyomtatott áramkörön 1cm^2 alatti, ez a legtöbb alkalmazásban nem jelent szűk keresztemetszetet.

Mindezek ellenére, érdemes gondolni arra, hogy a mai mikrokontrollerek programmemóriája flash, amit menet közben is tudunk oldalanként törölni, illetve szavanként írni. Miért kellene külön alkatrészeket beletervezni az áramkörbe, kommunikációs interfészeket használni, ha a beépített flashben néhány lap kijelölésével ugyanúgy egy nem felejtő memóriát tudunk létrehozni?

Az STMicroelectronics által kiadott emulált EEPROM driverek segítségével könnyen megvalósíthatjuk a nemfelejtő memóriát, a fejlesztőnek minden össze néhány definiált konstans értékét kell megadni, majd néhány függvény használatával egyszerűen írni és olvasni a változókat. Mivel a flash memória egyik sajátossága, hogy már egyszer írt memória területet csak törlés után lehet újra írni, illetve törölni csak egész lapokat lehet, így az emulált

Jellemző	Külső EEPROM	Emulált EEPROM
Írási idő	20ms	244 μ s...82ms
Törlési idő	5ms/bájt	20...40ms/lap
Olvasási idő	92 μ s	10...300 μ s
Írási/Törlési ciklus szám	1 millió	10 ezer/lap

5.1. táblázat. EEPROM és emulált EEPROM összehasonlítása 32 bites adatokon

EEPROM megvalósításához legalább két lapra van szükség. Az emulált EEPROM-ban 16 bites adatregiszterek vannak, ezekhez pedig 16 bites virtuális címek tartoznak. A driver beírás esetén a lista legvégeire írja a virtuális címet és az adatot. A flash memóriában törlés után minden bit 1-es értéket vesz fel, ezt használja ki az olvasás függvény, ami az emulált EEPROM memória végét a 0xFFFF virtuális című regiszterrel detektálja. Az olvasás, amennyiben több azonos címet is talál a memóriában, mindig a legutolsó értékét adja vissza, hiszen ezt írtuk be legutoljára. Amennyiben a kijelölt lap betelne, a driver a változók legutolsó értékeit átmenti egy másik lapra, majd törli a betelt lapot. A driver publikus függvényei:

```

1 uint16_t EE_Init(void);
2 uint16_t EE_ReadVariable(uint16_t VirtAddress, uint16_t* Data);
3 uint16_t EE_WriteVariable(uint16_t VirtAddress, uint16_t Data);
```

A CR-PM3-ban a legtöbb kalibrációs változó típusa egyszeres-precizitású lebegőpontos, ezek letárolása és visszaolvasása 16 bites regiszterekkel némi bit manipulációt igényel, az ezeket megvalósító függvények:

```

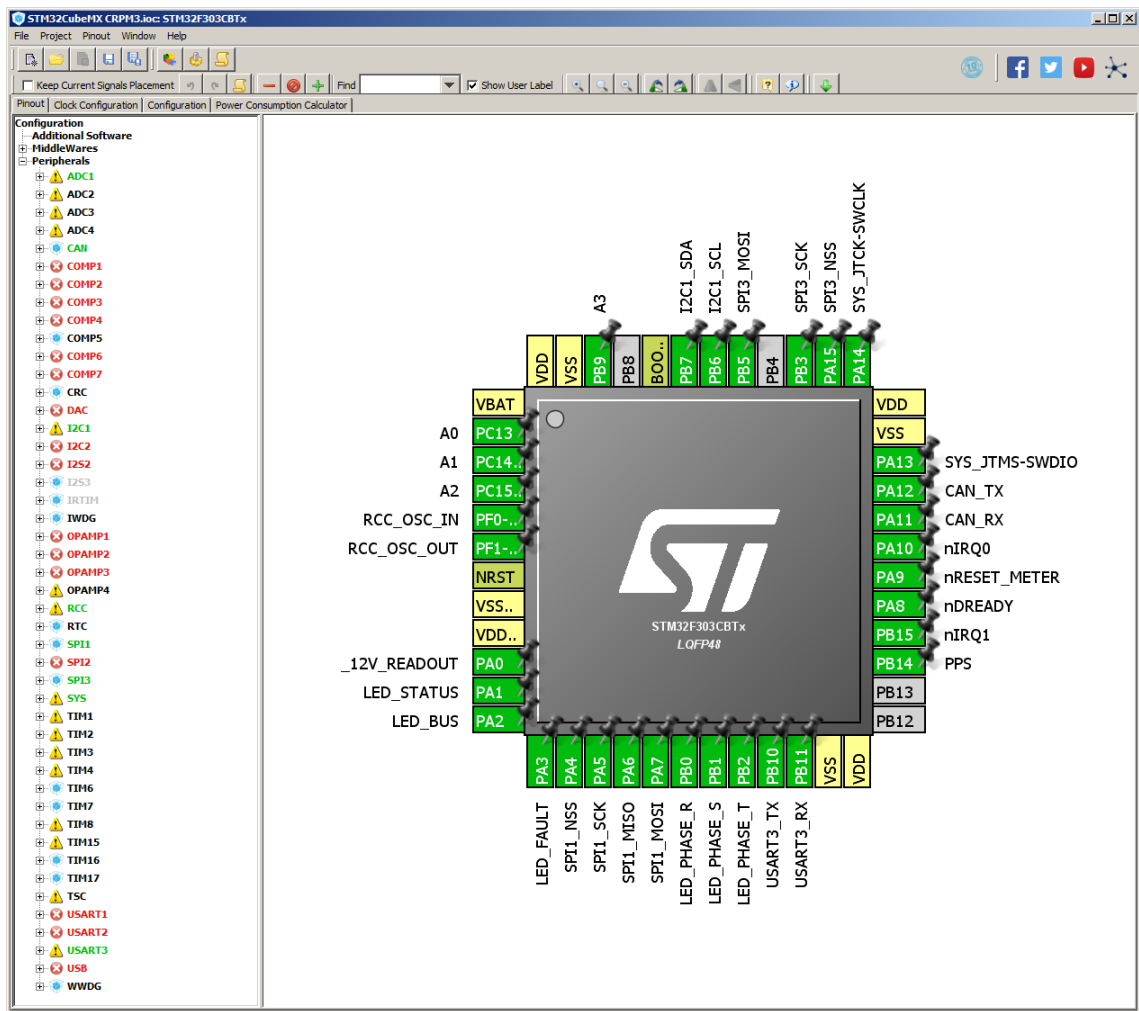
1 void eeStoreFloat(float data, uint16_t ee_address)
2 {
3     uint16_t ee_reg_buffer;
4     uint32_t uint32buffer;
5     float floatbuffer = data;
6     memcpy(&uint32buffer, &floatbuffer, sizeof(float));
7
8     ee_reg_buffer = (uint16_t)((uint32buffer)>>16)&0x0000FFFF;
9     EE_WriteVariable(VirtAddVarTab[ee_address], ee_reg_buffer);
10    ee_reg_buffer = (uint16_t)((uint32buffer)&0x0000FFFF);
11    EE_WriteVariable(VirtAddVarTab[ee_address+1], ee_reg_buffer);
12 }
13
14 void eeReadFloat(volatile float* calib_address, uint16_t ee_address)
15 {
16     uint16_t buffer1, buffer2;
17     uint32_t float_buffer;
18
19     EE_ReadVariable(VirtAddVarTab[ee_address], &buffer1);
20     EE_ReadVariable(VirtAddVarTab[ee_address+1], &buffer2);
21     float_buffer = (uint32_t)(buffer1 << 16);
22     float_buffer |= (uint32_t)(buffer2&0x0000FFFF);
23     memcpy((void*)calib_address, &float_buffer, sizeof(float));
24 }
```

5.3. Firmware

A beágyazott szoftvert az STM32F303-as kontrollerre KDevelop környezetben írtam, STM32 Standard Peripheral Libraries-t, valamint a Prolan-on belül fejlesztett CR-BASE szoftver réteget használtam. Maga a környezet egy Kubuntu-t futtató virtuális gépen működött, melyet a szoftveres kollégák kifjezetten a hardverfejlesztők igényeinek megfelelően állítottak össze, ezzel megkímélve a hosszas fejlesztői környezet konfigurálástól minket. Már az áramkörtervezés folyamatában használtam az STM32CubeMX programot, amellyel egyszerűen felkonfigurálhatjuk a választott STM32-es mikrokontrollert. Mivel a cégen belül Standard Peripheral Libraries-t alkalmazunk, a segédprogramot elsősorban nem kódgenerálásra, hanem a különböző perifériák kiosztásának ellenőrzéséhez, az ütközések elkerülésére alkalmaztam.

5.3.1. Program felépítése

TODO ÁBRA ESETLEG?



5.1. ábra. STM32CubeMX konfigurációs felülete

A program reset után, még a hardver inicializáció előtt a különböző mérést leíró struktúrák inicializációjával kezd, az ezekben található pointerek megfelelő értékének beállításával, és listák feltöltésével. Ezen a ponton kell megadni az eszköznek, hogy pontosan melyik vizsgált paramétereket kívánjuk kiolvasni a DSP-ból.

```

1  struct meas_register reg_list_L1[MAX_NO_OF_REGS_TO_READ/3];
2  struct calib_data calibration_data_l1;
3  regs_of_interest_L1.calibration_data = &calibration_data_l1;
4  regs_of_interest_L1.no_of_regs = 0;
5  regs_of_interest_L1.reg_array = reg_list_L1;
6
7  ...
8
9  addToRegsOfInterest(&regs_of_interest_L1, "L1 VRMS", AVRMS, 4, _signed,
10   voltage, 50);
11 addToRegsOfInterest(&regs_of_interest_L1, "L1 IRMS", AIRMS, 4, _signed,
12   current, 50);
13 addToRegsOfInterest(&regs_of_interest_L1, "L1 FVRMS", AFVRMS, 4, _signed,
14   voltage, 50);
15 addToRegsOfInterest(&regs_of_interest_L1, "L1 FIRMS", AFIRMS, 4, _signed,
16   current, 50);
17 addToRegsOfInterest(&regs_of_interest_L1, "L1 POWER", AWATT, 4, _signed,
18   power, 50);
19 addToRegsOfInterest(&regs_of_interest_L1, "L1 ENERGY", AWATTHR, 4,
20   _signed, energy, 1);
21 addToRegsOfInterest(&regs_of_interest_L1, "L1 REACTIVE ENERGY", AVARHR,
22   4, _signed, energy, 1);
23 addToRegsOfInterest(&regs_of_interest_L1, "L1 TEMP", ATEMP, 4, _signed,
24   temperature, 1);

```

Ezt követően a flash memóriából, az emulált EEPROM-ból kiolvassa a kalibrációs adatokat, ezeket hozzárendeli a megfelelő változókhöz.

A C-RTU kötelező funkcióinak inicializációja ezután kezdődik, meghívódik a CR-BASE és C-CAN init függvény, majd a LED-ek, a CAN, a mérési paraméterek, figyelt adatok, verziók beállítása. Ezek helyes lefutása után jönnek a modul specifikus függvényhívások, a különböző perifériák, felparaméterezése. A CR-PM3-ban a GPIO, Timer, SPI, DMA, ADC és NVIC perifériák vannak használatban a feladatok ellátására.

Az inicializációk után még a CR-BASE segítségével létrejön egy-egy 1000, 500 és 100ms-es taszk, amelybe a különböző, nem időkritikus ciklikus feladatok hajthatóak végre.

Ez után bekerül a program futása a main-ben található végtelen ciklusba, amelyben a CR-BASE crBaseHandler() függvényét hívja.

A modul működése során a három regisztrált ciklikus taszk-ban, interruptokban, illetve DMA segítségével történnek a különböző funkciók.

1. *tickHandler1000()*: Elsősorban debug funkciók megvalósítására volt használva, a különböző gyors események láthatóvá tételehez, például, hogy valamilyen hiba bekövetkezte után csak néhány másodperc után kapcsoljon le a hiba LED.

```

1 void tickHandler1000()
2 {
3     if(metering_flt_cnt > 0)
4     {
5         metering_flt_cnt--;
6     } else
7     {
8         ledOffSys(LED_SYS_FLT);
9     }
10 }
11

```

2. *tickHandler500()*: A jelenlegi prototípuson itt történik a CR-BASE számára az értékek frissítése. Amennyiben a CR-BASE szignifikancia, vagy időzítési kritériumai alapján szükséges, akkor ezután küldi fel az alapkészüléknek a mért adatokat.
3. *tickHandler100()*: Mivel a nullvezetőt figyelő bemenetre nem használható a nullátmenet interrupt, így az ehhez tartozó értékek frissítése ebben a taszkban történik.
4. *EXTI interrupt*: Az ADE7978 három konfigurálható interrupt kimenettel rendelkezik, melyek mindegyike be van kötve az STM32-es kontrollerbe, azonban a jelenlegi alkalmazásban ezek közül csak egy láb van használatba. A DSP egyik maszk regiszterének írásával lehet engedélyezni a különböző események hatására az interruptokat, amelyek ugyanazt a lábat húzzák alacsony logikai értékre. Ahhoz, hogy az interrupt forrását eldöntsük, ki kell olvasni a maszk regiszterhez tartozó státusz regisztert, és ott meg kell vizsgálni az interrupt bitek állapotát, majd a megfelelő érték beírásával törölni a flaget. Későbbi alkalmazásban elképzelhető, hogy több interruptot is használni kell majd, de jelenleg a használt interruptok a következők: reset utáni belső inicializáció kész, illetve a három fázison a feszültség nullátmenet események. Ezeknek a figyelése azért fontos, mert az ADE7978 a legtöbb számolt paramétert hálózati ciklusonként számolja ki, így érdemes ezen eseményekre szinkronizálni, hogy minden eredményt kiolvassunk, de véletlenül se olvassuk ki ugyanazt az értéket többször, majd ezeket átlagolni tudjuk. Egy probléma azonban ezzel a módszerrel, hogy amennyiben például a hálózati feszültség nullátmenet nélkül állna be egy hibás állapotba, a kiolvasott érték nem tükrözne a valóságot. Ezt kiküszöbölni kivétel kezeléssel lehet, az egyik ciklikus taszk felügyeletével. Amennyiben nem érkezik adott időn belül nullátmenet interrupt, frissítjük a fázishoz tartozó értékeket a DSP megfelelő azonnali érték regiszterével.
5. *DMA*: Az ADC által beolvasott négy csatorna: a hátlapi 12V, a 3.3V a VBAT bemeneten keresztül, az integrált hőmérő, valamint a beépített feszültség referencia. Ennek a négy értéknek a konverziója folyamatosan fut az ADC-ben, és amikor egy konverziós sorozat befejeződik, akkor elsül egy belső jel, aminek a hatására a DMA

kiolvassa az eredményt, és áthelyezi egy-egy globális változóba azokat. Ez a teljes folyamat a processzortól független, azt egyáltalán nem terheli. Ugyan az interruptos lekezelése az ADC-nek is megfelelő lett volna, a számítási teljesítmény elbírná, azonban a fejlesztés szempontjából sokkal kényelmesebb, hiszen a konverzió befejeződésének interruptjával így nem kell foglalkozni, a program futását az nem akasztja meg, a változók egyszerűen "maguktól frissülnek".

5.3.2. Mérő IC-t kezelő függvények, struktúrák

A firmware készítése során amennyire lehetett, az objektum orientáltságra törekedtem, így a mérési eredmények, kalibrációs adatok és beállítások struktúrákban vannak tárolva. Ahol csak lehetett a hibák elkerülésének érdekében enum típusokat vettem fel.

```

1 enum issigned{
2     _signed,
3     _unsigned
4 };
5
6 enum dimension{
7     voltage,
8     current,
9     power,
10    energy,
11    temperature,
12    scalar
13 };
14
15 struct meas_register{
16     const char* tag;
17     int64_t value;
18     int64_t avg_acc;
19     uint32_t avg_cnt;
20     uint32_t avg_cycles;
21     uint16_t reg_addr;
22     uint8_t reg_size;
23     enum issigned type;
24     enum dimension dimension;
25 };

```

A meas_register struktúra írja le az egyes mérendő változókat, a mérési módjukat:

1. *tag*: Egy konstans string, amely az emberi olvasásra alkalmas nevét tartalmazza a regiszternek, így debug célokra kiváló.
2. *value*: Az átlagolt értéke a regiszternek.

3. *avg_acc*: Az átlagoláshoz szükséges akkumulátor változó.
4. *avg_cnt*: Az átlagoláshoz szükséges futó változó.
5. *avg_cycles*: Az átlagoláshoz használt minták számát határozza meg.
6. *reg_addr*: A regiszter címe az ADE7978-ban.
7. *reg_size*: A regiszter mérete bájtokban kifejezve.
8. *type*: Megmutatja, hogy előjeles, vagy előjel nélküli változóként kezeljük a regisztert.
9. *dimension*: A mérődő mennyiségi dimenzióját adja meg, mely lehet feszültség, áram, teljesítmény, energia, hőmérséklet, vagy pedig skalár.

```

1 struct calib_data{
2     float v_lsb;
3     float i_lsb;
4     float wh_lsb;
5     int32_t vgain;
6     int32_t igain;
7     int32_t phcal;
8 };
9
10 struct regs_of_interest_type{
11     struct meas_register* reg_array;
12     struct calib_data* calibration_data;
13     uint8_t no_of_regs;
14 };

```

A *meas_register*-eket *regs_of_interest_type* struktúrák foglalják össze fázisonként. Ezekhez hozzá van rendelve továbbá a kalibrációs adatokat tartalmazó *calib_data* struktúra egy-egy példánya, valamint egy változó tartalmazza a felvett *meas_register*-ek számát.

A *regs_of_interest_type* gyűjtő objektumok kezelése egy hozzáadó, egy frissítő, és egy kiolvasó függvényel történik.

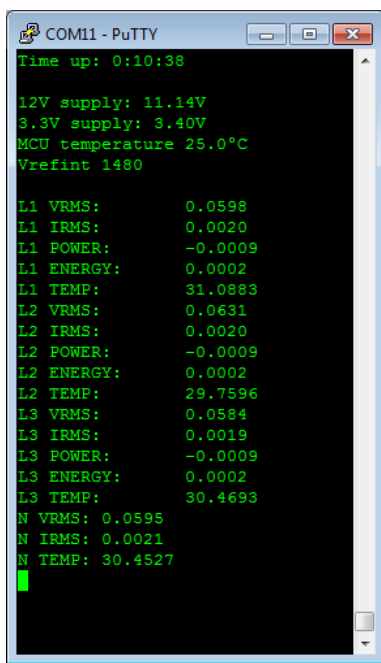
```

1 addToRegsOfInterest(&regs_of_interest_L1, "L1 VRMS", AVRMS, 4, _signed,
2   voltage, 50);
3 ...
4
5 updateRegsOfInterest(regs_of_interest_L1);
6
7 ...
8
9 output_buffer[1] = readRegsOfInterest(regs_of_interest_L1, "L1 VRMS");

```

5.3.3. Debug soros port

A fejlesztés támogatásához a készülékben helyet kapott egy soros port. Ennek a kezelése sokkal egyszerűbb, mint a C-CAN használata, így egyszerű diagnosztikához kitűnően alkalmas. A jobb átláthatóság érdekében a soros porton nem egyszerűen kiírja az eszköz az adatokat, illetve szöveges üzeneteket, hanem ANSI escape karakterek használatával kurzormozgatást valósít meg, így hosszabb képernyő tartalmak esetén sem fog villogni a kép, az előző képernyő tartalmát egyszerűen felülírja az új.



5.2. ábra. Debug soros port kimenete

A fejlesztés során többször fordult elő, hogy valamilyen hibás konfigurálás következtében már az inicializáció során elakadt a program futása, ezek forrását a debug interfész segítségével rendkívül egyszerűen, egy-egy sor vagy változó kiíratásával meg lehetett találni.

5.4. Linux oldali szoftver

TODO

Az alapkészülékben a csomagok fogadását, a paraméterezést viszonylag kevés munkával, egy SQL adatbázis

The screenshot shows a web browser window titled 'CRTU-B Web'. The address bar indicates 'Nem biztonságos | 10.63.255.4'. The page content is a table titled 'Adatok' (Data) with the following columns: Id, Típus (Type), Név (Name), Érték (Value), Keletkezési idő (Creation Time), Beérkezési idő (Arrival Time), and Státusz (Status). The data rows are as follows:

Id	Típus	Név	Érték	Keletkezési idő	Beérkezési idő	Státusz
12	MEASURE	L1 fázis hőmérséklet	31.2885 °C	2016.11.03 20:08:27	2016.11.03 20:08:27	0x00000000
13	MEASURE	L1 fázis feszültség	0.0957217 V	2016.11.03 20:11:33	2016.11.03 20:11:33	0x00000000
14	MEASURE	L1 fázis áram	0.00196878 A	2016.11.03 20:11:33	2016.11.03 20:11:33	0x00000000
15	MEASURE	L1 fázis teljesítmény	0 W	2016.11.03 20:11:33	2016.11.03 20:11:33	0x00000000
16	MEASURE	L1 fázis energia	103.597 Wh	2016.11.03 20:11:33	2016.11.03 20:11:33	0x00000000
17	MEASURE	L2 fázis hőmérséklet	30.3755 °C	2016.11.03 20:10:50	2016.11.03 20:10:50	0x00000000
18	MEASURE	L2 fázis feszültség	0.0757132 V	2016.11.03 20:11:33	2016.11.03 20:11:33	0x00000000
19	MEASURE	L2 fázis áram	0.00203808 A	2016.11.03 20:11:33	2016.11.03 20:11:33	0x00000000
20	MEASURE	L2 fázis teljesítmény	0 W	2016.11.03 20:11:33	2016.11.03 20:11:33	0x00000000
21	MEASURE	L2 fázis energia	0.000666882 Wh	2016.11.03 20:11:33	2016.11.03 20:11:33	0x00000000
22	MEASURE	L3 fázis hőmérséklet	32.0699 °C	2016.11.03 20:10:50	2016.11.03 20:10:50	0x00000000
23	MEASURE	L3 fázis feszültség	0.379787 V	2016.11.03 20:11:33	2016.11.03 20:11:33	0x00000000
24	MEASURE	L3 fázis áram	0.00203456 A	2016.11.03 20:11:33	2016.11.03 20:11:33	0x00000000
25	MEASURE	L3 fázis teljesítmény	-0.000926225 W	2016.11.03 20:11:33	2016.11.03 20:11:33	0x00000000
26	MEASURE	L3 fázis energia	0.00056191 Wh	2016.11.03 20:11:33	2016.11.03 20:11:33	0x00000000
27	MEASURE	Nullvezető hőmérséklet	31.0611 °C	2016.11.03 20:10:50	2016.11.03 20:10:50	0x00000000
28	MEASURE	Nullvezető feszültség	0.0607772 V	2016.11.03 20:11:33	2016.11.03 20:11:33	0x00000000
29	MEASURE	Nullvezető áram	0.00209212 A	2016.11.03 20:11:33	2016.11.03 20:11:33	0x00000000

5.3. ábra. CR-WEB fejlesztői felület

5.5. Gyártás támogatás

Egy gyártott terméknek elengedhetetlen a tesztelése mielőtt azt eladásra szánja az előállító. Ez kis darabszámnál még történhet egyedi mérések alapján, melyet a fejlesztő, vagy egy technikus végez el minden legyártott darabon, azonban ez nem jó hatásfokú, valamint nagyobb darabszámnál szűk keresztmetszetet jelenthet a termék előállításában, eladásában. Ezt a tesztet összevonhatjuk a termék kalibrációjával, amely elengedhetetlen egy pontos mérő gyártásánál, hiszen minden felhasznált alkatrésznek lesz valamilyen szórása. Ezen eltérések kiküszöböléséhez valamilyen precíziós jelforráshoz kell hasonlítani az elkészült mérőt, majd az eredmény alapján eliminálni a rendszeres hibákat. A végmérés és kalibráció összevonása után egy egyszerűen végrehajtható leírást kapunk, melyet lépésről lépéstre követve meggyőződhetünk a gyártott termék helyességéről, valamint kalibráció után garantálhatjuk a specifikált pontosságot.

TODO

5.5.1. Végmérés és kalibráció

6. fejezet

Példaalkalmazás

Ősz végére a termék elérte azt a készségi szintet, hogy azt egy példaalkalmazásban kipró-bálhassuk, hogy ott minél több tapasztalatot szerezzünk, az esetleges hardver vagy szoftver hibák napvilágot láthassanak.

A CR-PM3-at egy -szintén a Prolan-on belül fejlesztett- elektromos autótöltő mellé helyeztük el, ami a cég parkolójában volt telepítve. TODO CSOMO KÉP, RIZSA AZ AUTÓ-TÖLTŐRŐL STB

Összefoglalás

TODO

Köszönetnyilvánítás

TODO

Ábrák jegyzéke

1.1.	Hosszú kimaradások ideje évente	8
2.1.	C-RTU család	9
2.2.	C-RTU alapkészülék	10
3.1.	Áramváltó transzformátor működési elve	14
3.2.	Rendszer felépítése	17
3.3.	Áramváltó nélküli mérési elrendezés	18
4.1.	Szigeteléskoordináció IEC 60664 alapján	21
4.2.	EMC vizsgálatok osztályzása	22
4.3.	Emisszió csökkentése integrált izolált táp esetén	24
4.4.	Emisszió csökkentésének tényleges megvalósítása	24
4.5.	ESD mérési összeállítás	26
4.6.	ESD teszt csatoló síkokkal	26
4.7.	Burst és surge teszt mérési összeállítása	27
4.8.	Szimulátor beállításai burst teszthez	28
4.9.	Szimulátor beállításai surge teszthez	28
4.10.	Vezetett RF zavarok mérési összeállítása	29
4.11.	CR-PM3 összeállítása	30
4.12.	CR-PM3 a készülékházban	31
4.13.	Lapon belüli felbontás	32
4.14.	Hierarchikus tervezés	32
4.15.	CR-PM3A és CR-PM3C	34
5.1.	STM32CubeMX konfigurációs felülete	38
5.2.	Debug soros port kimenete	43
5.3.	CR-WEB fejlesztői felület	44

Táblázatok jegyzéke

3.1.	AF500 ProField modul specifikációja	12
3.2.	16451-es áramváltó transzformátor pontossága terhelés függvényében	17
3.3.	ADE7978 tipikus pontossági értékei 0.1%-os alkatrészek alkatrészek alkal-mazásával	19
5.1.	EEPROM és emulált EEPROM összehasonlítása 32 bites adatokon	36

Irodalomjegyzék

- [1] MSZ EN 60664-1:2008, Kisfeszültségű rendszerek villamos szerkezeteinek szigetelés-koordinációja. 1. rész: Alapelvek, követelmények és vizsgálatok (IEC 60664-1:2007). Szabvány, Magyar Szabványügyi Testület, 2008.
- [2] MSZ EN 62052-11:2003, Váltakozó áramú villamos fogyasztásmérő berendezések. Általános követelmények, vizsgálatok és vizsgálati feltételek. 11. rész: Fogyasztásmérő berendezések (IEC 62052-11:2003). Szabvány, Magyar Szabványügyi Testület, 2003.
- [3] CEER 6th Benchmarking Report on the Quality of Electricity and Gas Supply. Jelentés, Council of European Energy Regulators (CEER), 2016.
- [4] EM TEST (Switzerland) GmbH. The structure of EMC standards (2018. november 12.). http://www.emtest.com/what_is/standards.php.
- [5] Elektromágneses összeférhetőség (EMC). 6-1. rész: Általános szabványok. Zavartűrés a lakóhelyi, a kereskedelmi és az enyhén ipari környezetekre (IEC 61000-6-1:2005). Szabvány, Magyar Szabványügyi Testület, 2007.
- [6] Elektromágneses összeférhetőség. Háztartási készülékek, villamos szerszámok és hasonló eszközök követelményei. 1. rész: Zavarkibocsátás (CISPR 14-1:2005). Szabvány, Magyar Szabványügyi Testület, 2007.
- [7] Elektromágneses összeférhetőség (EMC). 4-2. rész: Vizsgálati és mérési módszerek. Elektrosztatikus kisüléssel szembeni zavartűrési vizsgálat (IEC 61000-4-2:2008). Szabvány, Magyar Szabványügyi Testület, 2009.
- [8] Elektromágneses összeférhetőség (EMC). 4-4. rész: Vizsgálati és mérési módszerek. Gyors villamos tranziens/burst jelenségekkel szembeni zavartűrési vizsgálat (IEC 61000-4-4:2012). Szabvány, Magyar Szabványügyi Testület, 2011.
- [9] Elektromágneses összeférhetőség (EMC). 4-5. rész: Vizsgálati és mérési módszerek. Lököhullámmal szembeni zavartűrési vizsgálat (IEC 61000-4-5:2014). Szabvány, Magyar Szabványügyi Testület, 2014.
- [10] Elektromágneses összeférhetőség (EMC). 4-6. rész: Vizsgálati és mérési módszerek. Rádiófrekvenciás terek által keltett, vezetett zavarokkal szembeni zavartűrés vizsgálata (IEC 61000-4-6:2013). Szabvány, Magyar Szabványügyi Testület, 2014.

- [11] Schneider Electric. Schneider legacy products - 16451 (2018. november 21.). <https://www.schneider-electric.com.au/en/product/16451/current-transformer-ti-50-5-a---for-cable-%C3%B8-21-mm/>.
- [12] UM0892, STM32 ST-LINK utility software description. User manual, STMicroelectronics, 2018.
- [13] AN4056, EEPROM emulation in STM32F30x/STM32F31x/STM32F37x/STM32F38x microcontrollers. Application note, STMicroelectronics, 2012.
- [14] UM1718, STM32CubeMX for STM32 configuration and initialization C code generation. User manual, STMicroelectronics, 2018.
- [15] DS9118, STM32F303xB STM32F303xC datasheet. Datasheet, STMicroelectronics, 2018.
- [16] ADE7978/ADE7933/ADE7932/ADE7923. Datasheet, Analog Devices, November 2018.
- [17] AN-1259, Calibrating the ADE7978 and ADE7932/ADE7933 Isolated Metering Chipset. Application note, Analog Devices, 2013.
- [18] AN-1333, Architecting a Direct, 3-Phase Energy Meter with Shunts Using the ADE7932/ADE7933/ADE7978. Application note, Analog Devices, 2014.
- [19] The EMI benefits of ground plane stitching in multi-layer power bus stacks. Tanulmány, Xiaoning Ye, D.M. Hockanson, Min Li, Wei Cui, S. Radu, J.L. Drewniak, T.P. VanDoren, T.H. Hubing, R.E. DuBroff, 2000.
- [20] Anand Reghunathan, Koteswar Rao, Anant Kamath. How to achieve low radiated emissions with fully integrated data and power isolation (2018. november 25.). <https://www.edn.com/Home/PrintView?contentItemId=4458172>.

Függelék

F.1. Függelék 1

TODO